第3章(続き)

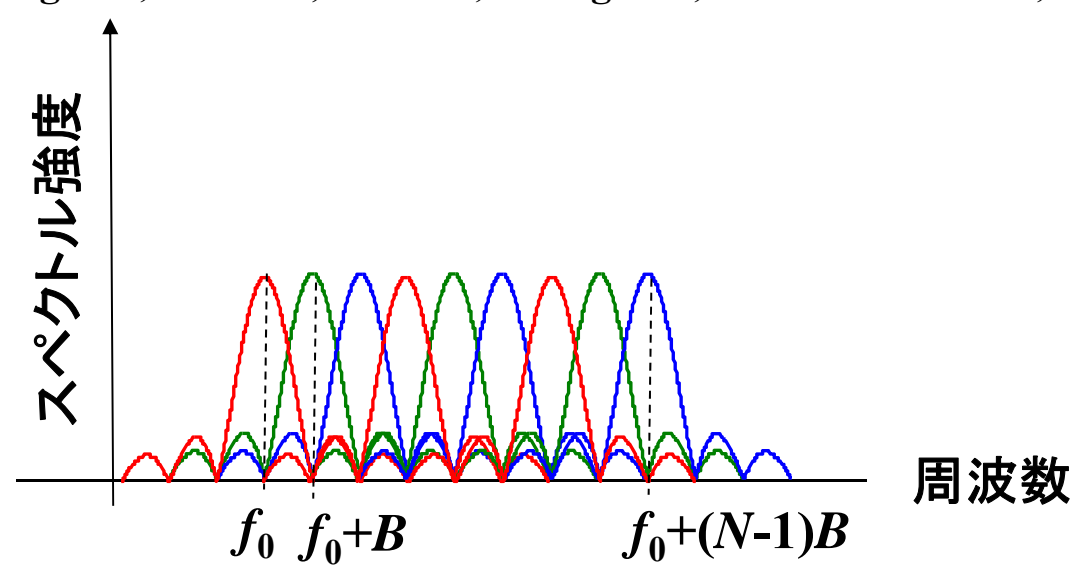
光変復調技術(4)

2011年12月5日(月)

OFDM(続き)

PLCによるOFDM信号のチャネル分離(1)

T. Takiguchi, T. Kitoh, A. Mori, M. Oguma, and H. Takahashi, ECOC2010, PD1.4.



$$S(t) = \sum_{n=0}^{N-1} d_n \cdot e^{j2\pi(f_0 + nB)t}$$

$$d_n : \mathbf{n}$$
番目のチャネル・データ

n: サブチャネル番号 $(n=0 \sim N-1)$

│ N :サブチャネル数

 f_0 :0番目のチャネルのキャリア周波数

:Baud rate

PLCによるOFDM信号のチャネル分離(2)

dnの抽出

$$S(t) = \sum_{n=0}^{N-1} d_n \cdot e^{j2\pi(f_0 + nB)t}$$

$$S(t) \cdot e^{-j2\pi f_0 t} = \sum_{n=0}^{N-1} d_n \cdot e^{j2\pi Bt}$$

$$= \sum_{n=0}^{N-1} d_n \cdot e^{j2\pi \frac{k}{N}}$$

$$= \sum_{n=0}^{N-1} d_n \cdot e^{j2\pi \frac{k}{N}}$$

$$d_n = \frac{1}{N} \sum_{k=0}^{N-1} S(k \cdot \Delta t) e^{-j2\pi f_0 k \cdot \Delta t} \cdot e^{-j\frac{2\pi}{N}kn}$$

$$= \frac{1}{N} \sum_{k=0}^{N-1} S'(k \cdot \Delta t) e^{-j\frac{2\pi}{N}kn}$$

離散 ブーリエ変換
$$Y_k = \sum_{n=0}^{N-1} X_n \cdot e^{-j\frac{2\pi}{N}kn}$$

離散 ブーリエ変換
$$Y_k = \sum_{n=0}^{N-1} X_n \cdot e^{-j\frac{2\pi}{N}kn}$$

入力信号の分割・遅延

$$S'(k \cdot \Delta t) \equiv S(k \cdot \Delta t)e^{-j2\pi f_0 k \Delta t}$$

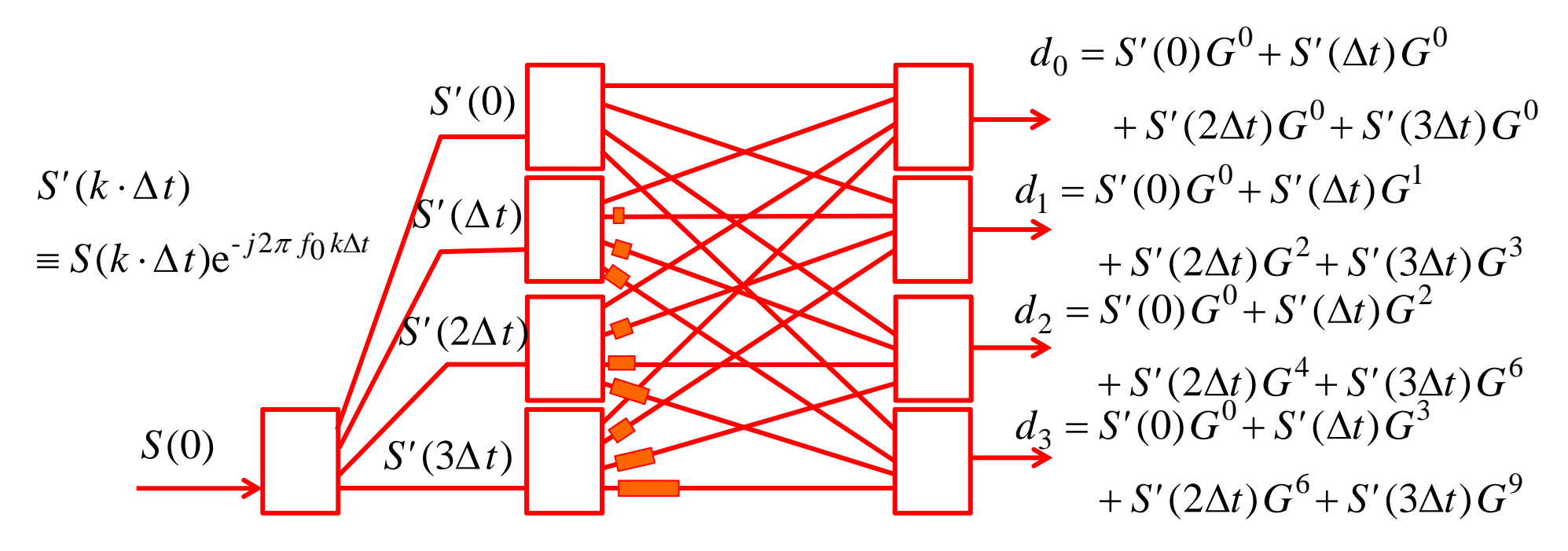
$$Y_k = \sum_{n=0}^{N-1} X_n \cdot e^{-j\frac{2\pi}{N}kn}$$

$$X_{n} = \frac{1}{N} \sum_{k=0}^{N-1} Y_{k} \cdot e^{j\frac{2\pi}{N}kn}$$

PLCによるOFDM信号のチャネル分離(3)

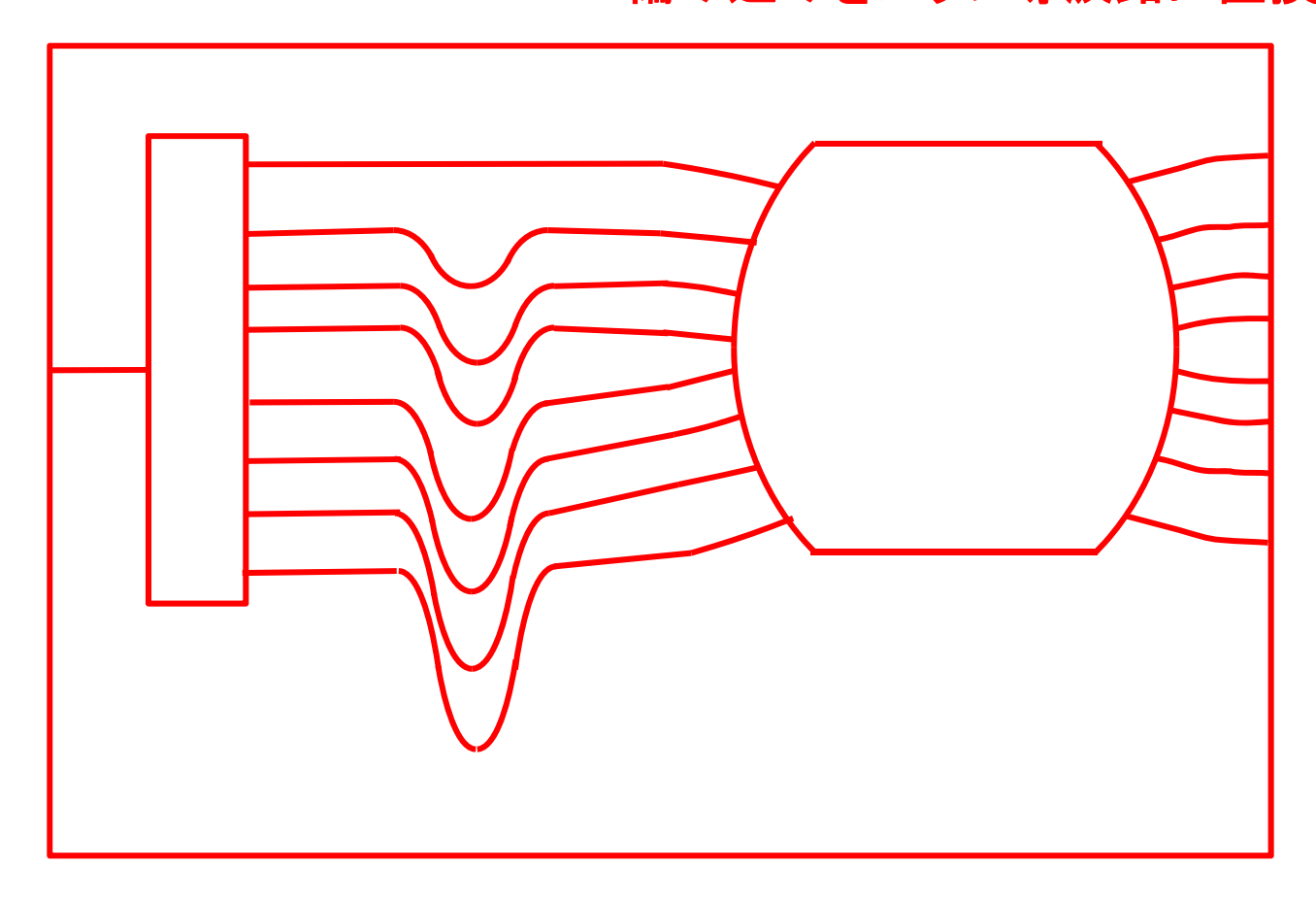
$$d_n = \frac{1}{N} \sum_{k=0}^{N-1} S'(k \cdot \Delta t) e^{-j\frac{2\pi}{N}kn}$$

$$\begin{bmatrix} d_0 \\ d_1 \\ d_2 \\ d_3 \end{bmatrix} = \frac{1}{N} \begin{bmatrix} G^0 & G^0 & G^0 & G^0 \\ G^0 & G^1 & G^2 & G^3 \\ G^0 & G^2 & G^4 & G^6 \\ G^0 & G^3 & G^6 & G^0 \end{bmatrix} \begin{bmatrix} S'(0) \\ S(\Delta t) \\ S'(2\Delta t) \\ S'(3\Delta t) \end{bmatrix}$$
 (tete $G = e^{-j\frac{2\pi}{N}}$)



PLCによるOFDM信号のチャネル分離(4)

N×N編み込みをスラブ導波路に置換

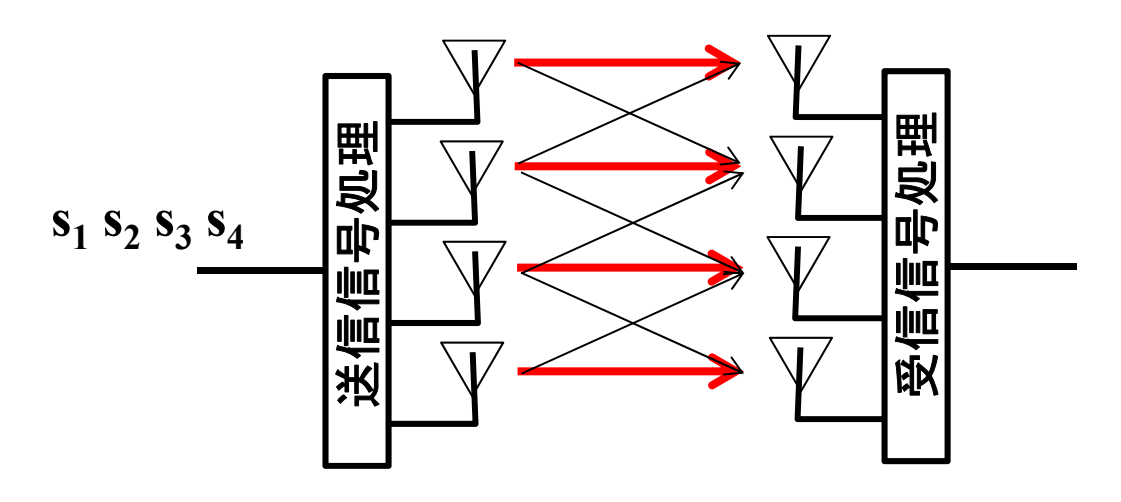


- 導波路間隔・焦点距離を適切に設定するとDFTの位相回転子群を形成可
- 導波路交差による損失0
- 回路サイズ小

MIMO

無線通信におけるMIMO (Multiple-Input Multiple-Output)

MIMO: Multiple-Input Multiple-Outputとは



- 無線通信において複数の伝送路(マルチパス)を用いてたくさんの 情報を伝送する技術
- 標準化技術(IEEE802.11n)において用いられるようになった。

MIMOの役割(1)

シャノン限界(シャノンの通信路容量定理)

誤りなく伝送できる伝送容量の上限を与えるもの。

$$C = W \log_2 \left(1 + \frac{S}{N} \right)$$

C:伝送速度, W:周波数帯域幅, S:信号の平均電力, N:雑音の平均電力

$$\frac{C}{W} = \log_2\left(1 + \frac{S}{N}\right) \approx \log_2\left(\frac{S}{N}\right) \text{ if } \frac{S}{N} >> 1$$
 なので、

電力を大きくしても、それに見合った周波数利用効率の向上につながらない(非効率)。

(例) 周波数利用効率C/Wを10倍(2値符号での0.5bps/HzをDP-32QAM符号で10倍)にするためには、S/Nを2¹⁰=1024倍に高めなければならない。

MIMOの役割(2)

マルチパスを用いると。。。

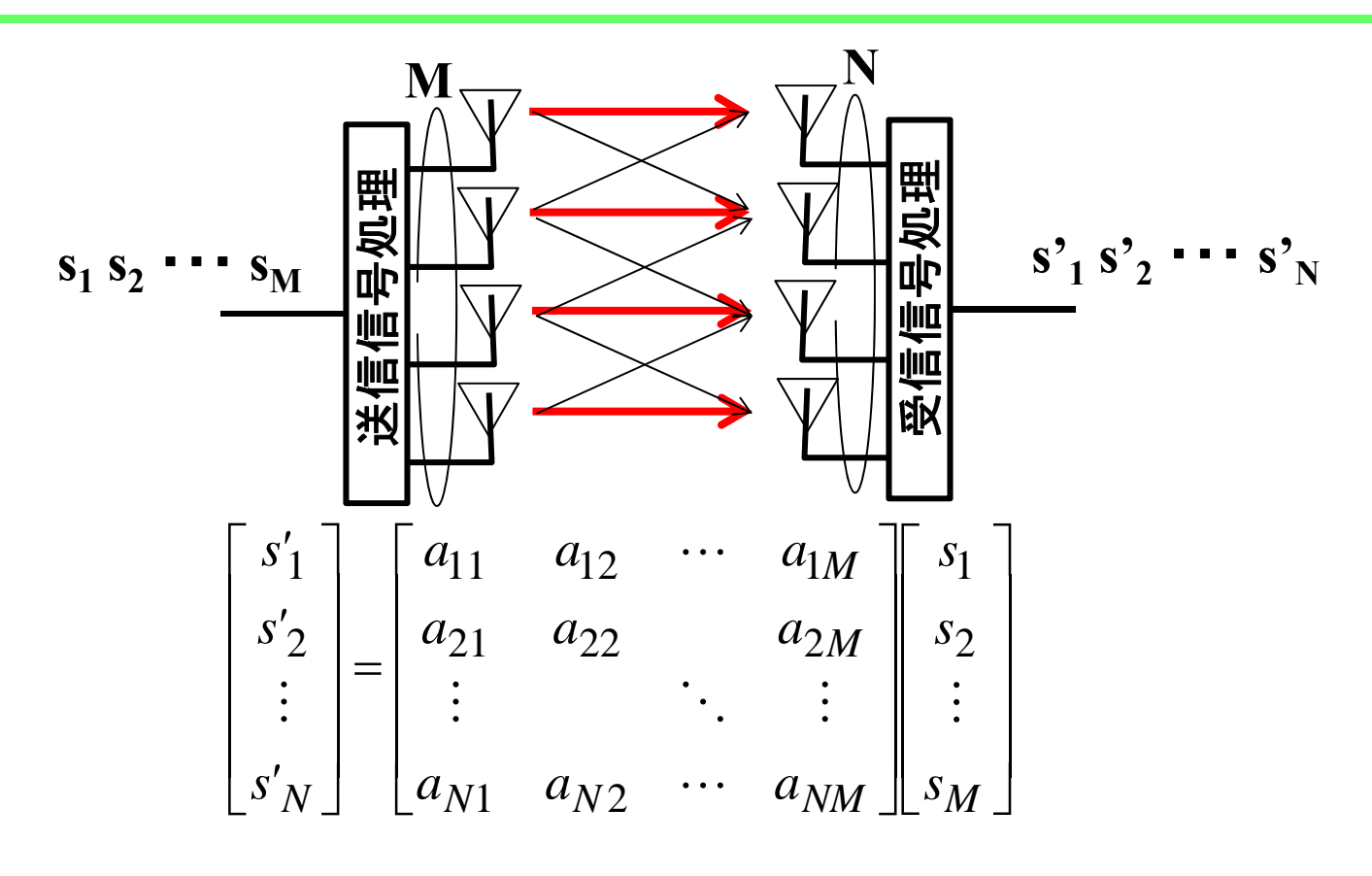
$$C = MW \log_2 \left(1 + \frac{S}{MN}\right)$$

M:マルチパス·チャネル数

効率よく周波数利用効率を向上できる。

(補足) その他、切れないリンクを実現する技術としても活用される。

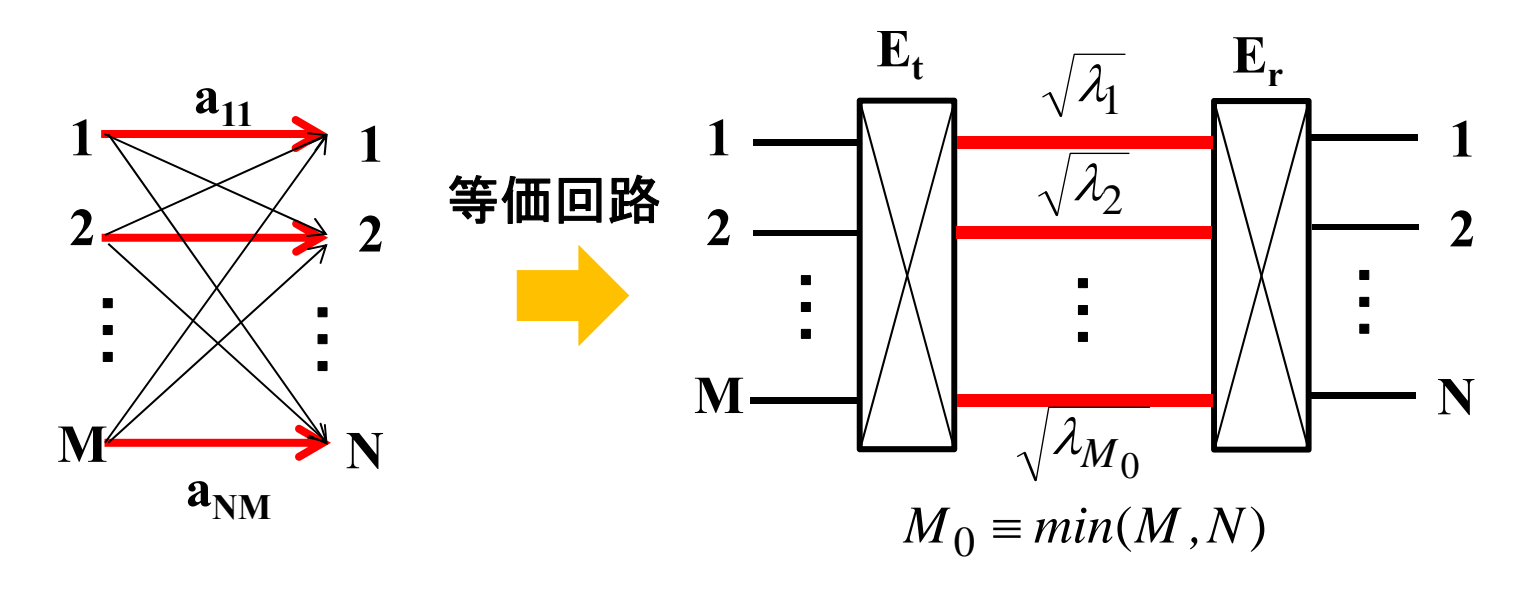
MIMOの原理



チャネル応答行列

$$A = \begin{bmatrix} a_{11} & a_{12} & \cdots & a_{1M} \\ a_{21} & a_{22} & & a_{2M} \\ \vdots & & \ddots & \vdots \\ a_{N1} & a_{N2} & \cdots & a_{NM} \end{bmatrix}$$
 (N×M行列)

MIMOチャネルの伝送行列表現(1)



行列の固有値·対角化を利用してAを変形する。

 $A^{H}A$: ($M \times M$)のエルミート行列

固有値: λ₁, λ₂, ..., λ_{M0} (A^HA, AA^Hに共通)

固有値λ_iに属する固有値ベクトル: e_{t,1} e_{t,2} ... e_{t,M0}

AAH: (N×N)のエルミート行列

固有値: λ₁, λ₂, ..., λ_{M0} (A^HA, AA^Hに共通)

固有値λ_iに属する固有値ベクトル: e_{r,1} e_{r,2} ... e_{r,M0}

MIMOチャネルの伝送行列表現(2)

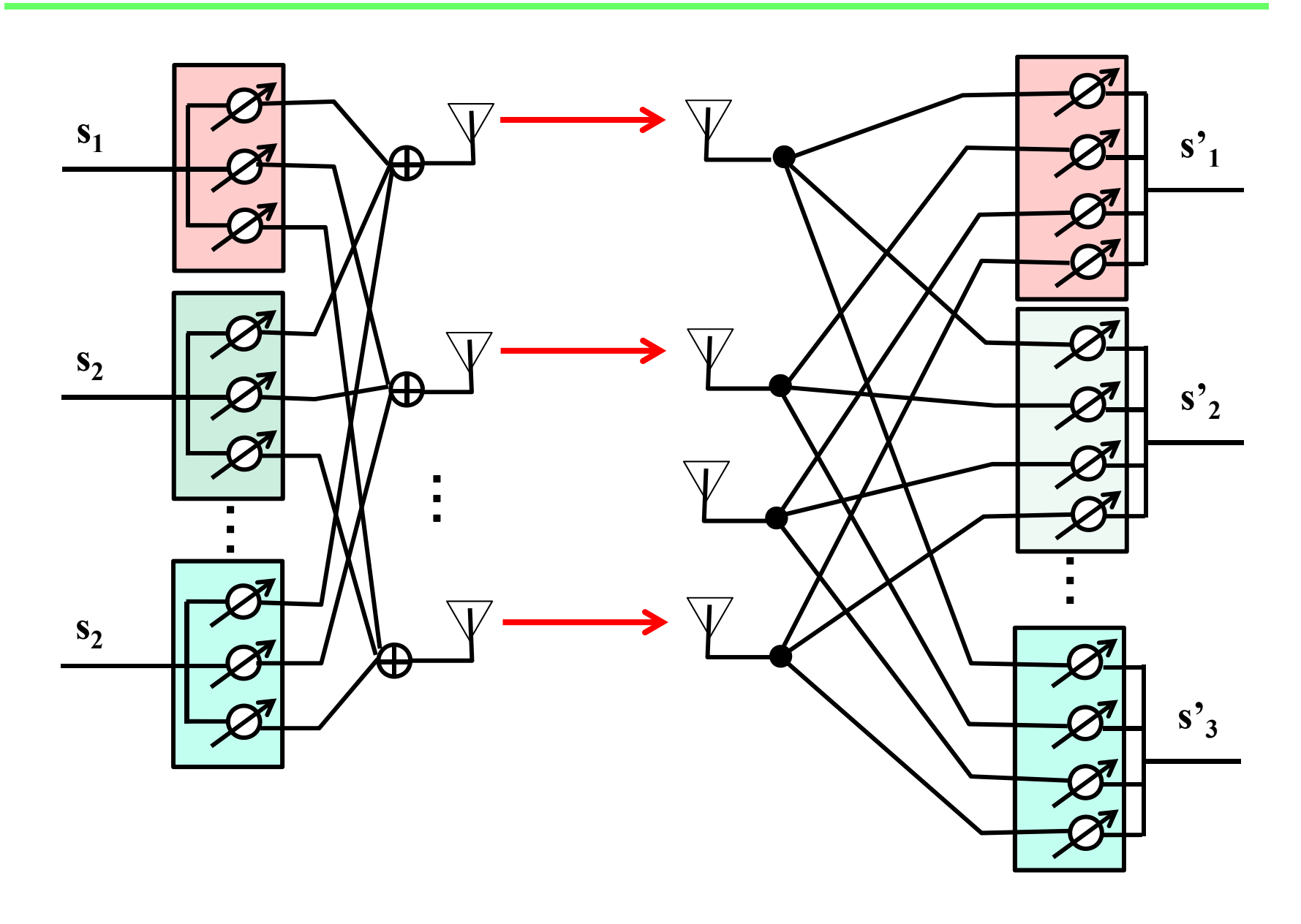
チャネル応答行列Aは以下で表される。

$$\mathbf{A} = \begin{bmatrix} \mathbf{e}_{\mathbf{r},1} & \mathbf{e}_{\mathbf{r},2} \cdots \mathbf{e}_{\mathbf{r},\mathbf{M0}} \end{bmatrix} \begin{bmatrix} \sqrt{\lambda_{\mathbf{l}}} & \mathbf{0} & \cdots & \mathbf{0} \\ \mathbf{0} & \sqrt{\lambda_{\mathbf{2}}} & & \mathbf{0} \\ \vdots & & \ddots & \vdots \\ \mathbf{0} & \mathbf{0} & \cdots & \sqrt{\lambda_{\mathbf{M0}}} \end{bmatrix} \begin{bmatrix} \mathbf{e}_{\mathbf{t},1} & \mathbf{e}_{\mathbf{t},2} \cdots \mathbf{e}_{\mathbf{t},\mathbf{M0}} \end{bmatrix}^{H}$$

$$=E_r D E_t^H$$

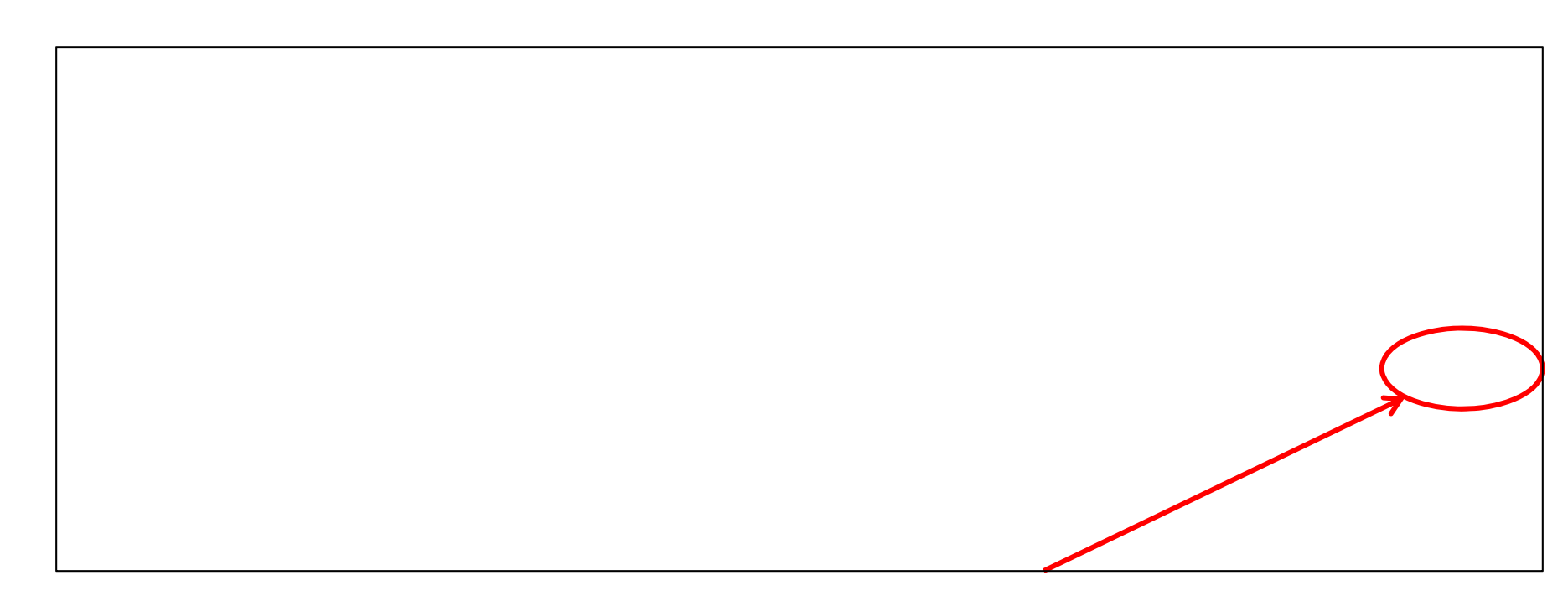
- igoplus 実伝送路に合わせて、送信側のビームフォーミングネットワークを $\mathbf{E}_{\mathbf{t}}$ に、 受信系を $\mathbf{E}_{\mathbf{r}}$ 出とすると、 $\mathbf{M}_{\mathbf{0}}$ 個の信号が独立に利得 $\sqrt{\lambda_{\mathbf{i}}}$ で干渉なく伝送可能
- 伝送チャネルの特性把握は、相関行列の固有値の把握と等価

固有モード伝送方式



光OFDM信号検出へのMIMO利用

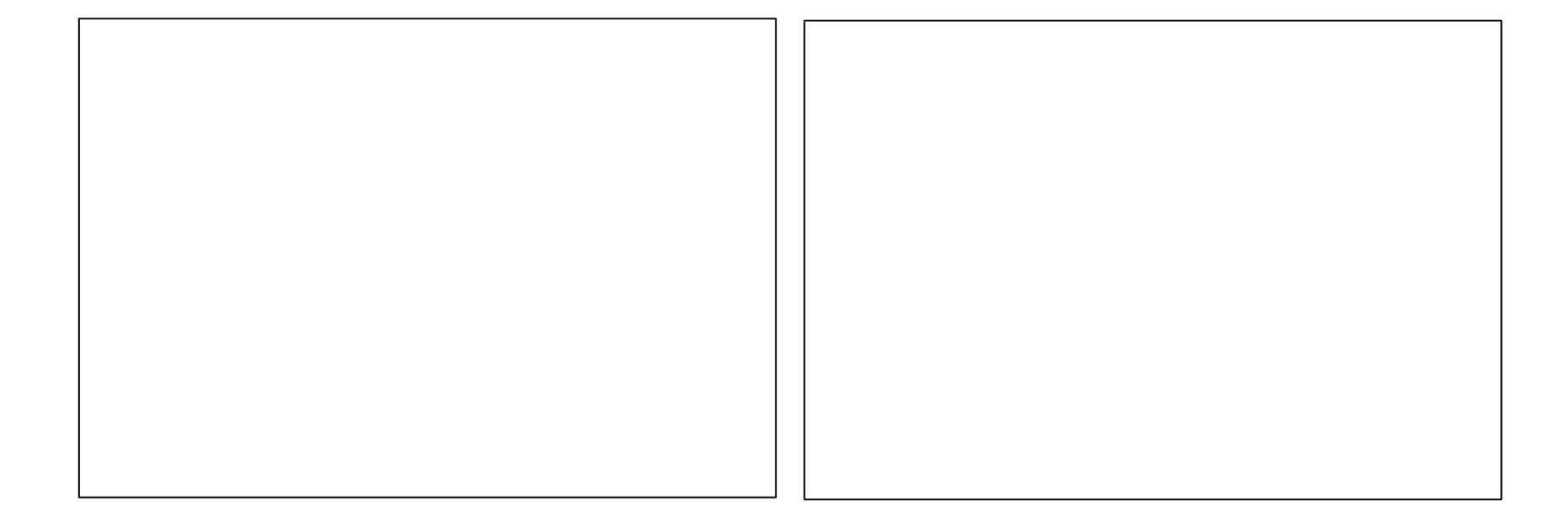
S.L. Jansen, I. Morita, and H. Tanaka, ECOC2007, PDS1.3 (2007).



偏波多重信号の分離用にMIMO活用

モード多重の励振(1-1)

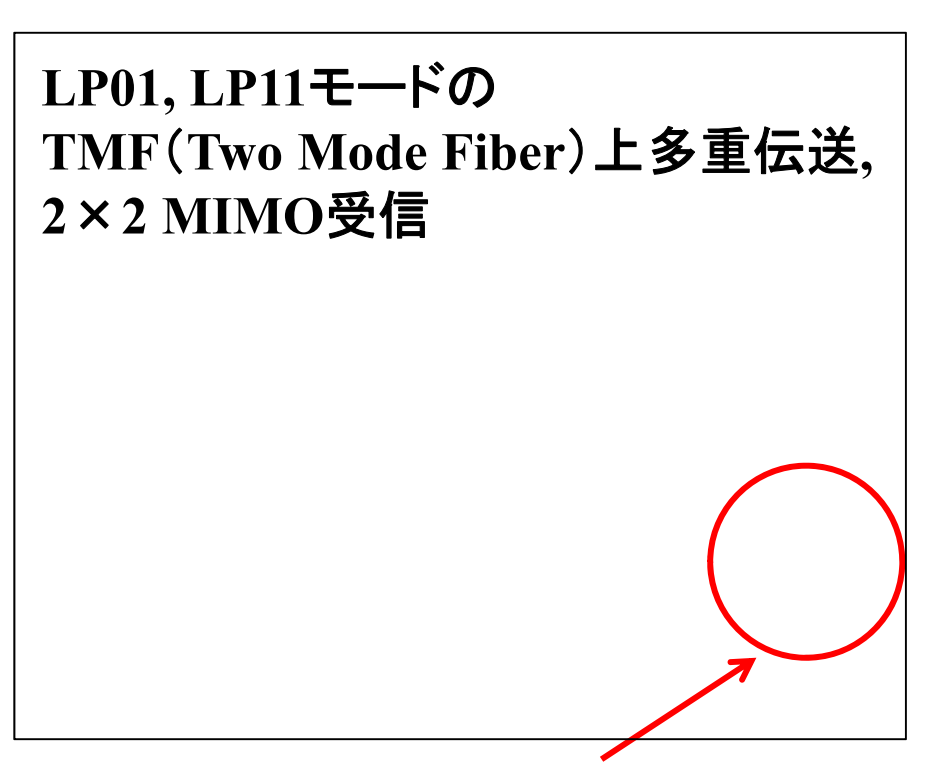
A. Li, A. Al Amin, X. Chen, and W. Shieh, OFC/NFOEC2011, PDPB8 (2011).



モード多重の励振(1-2)

A. Li, A. Al Amin, X. Chen, and W. Shieh, OFC/NFOEC2011, PDPB8 (2011).

グレーティング状の金属を ファイバに押し付け、LP01→LP11 変換



MIMO活用によるモード分離

モード多重の励振(2-1)

M. Salsi, C. Koebele, D. Sperti, P. Tran, P. Brindel, H. Mardoyan, S. Gigo, A. Boutin, F. Verluise, P. Sillard, M. Astruc, L. Provost, F. Cerou, and G. Charlet, OFC/NFOEC2011, PDPB9 (2011).

位相板によるLP01→LP11a, LP11b 変換

モード多重の励振(2-2)

M. Salsi, C. Koebele, D. Sperti, P. Tran, P. Brindel, H. Mardoyan, S. Gigo, A. Boutin, F. Verluise, P. Sillard, M. Astruc, L. Provost, F. Cerou, and G. Charlet, OFC/NFOEC2011, PDPB9 (2011).

FMF(Few Mode Fiber)上伝送 (LP11a+LP11b)×偏波多重4モードの4×4 MIMO受信

MIMO活用によるモード分離

モード多重の励振(3-1)

R. Ryf, S. Randel, A.H. Gnauck, C. Bolle, R.-J. Essiambre, P.J. Winzer, D.W. Peckkam, A. McCurdy, And R. Lingle, Jr., OFC/NFOEC2011, PDPB10 (2011).

位相板によるLP01→LP11a, LP11b変換

モード多重の励振(3-2)

R. Ryf, S. Randel, A.H. Gnauck, C. Bolle, R.-J. Essiambre, P.J. Winzer, D.W. Peckkam, A. McCurdy, And R. Lingle, Jr., OFC/NFOEC2011, PDPB10 (2011).

3MF(Three Mode Fiber)上の(LP01, LP11a, LP11b)×偏波多重6モード伝送

モード多重の励振(3-3)

R. Ryf, S. Randel, A.H. Gnauck, C. Bolle, R.-J. Essiambre, P.J. Winzer, D.W. Peckkam, A. McCurdy, And R. Lingle, Jr., OFC/NFOEC2011, PDPB10 (2011).





モード多重の励振(4-1)

N. Hanzawa, K. Saitoh, T. Sakamoto, T. Matsui, S. Tomita, and M. Koshiba, OFC/NFOEC2011, OWA4 (2011).

LPFBGによるLP01→LP11変換 ファイバカプラによるモード分離

モード多重の励振(4-2)

N. Hanzawa, K. Saitoh, T. Sakamoto, T. Matsui, S. Tomita, and M. Koshiba, OFC/NFOEC2011, OWA4 (2011).

CSF(Cut-off Shifted Fiber)上の伝送・モード多重/分離

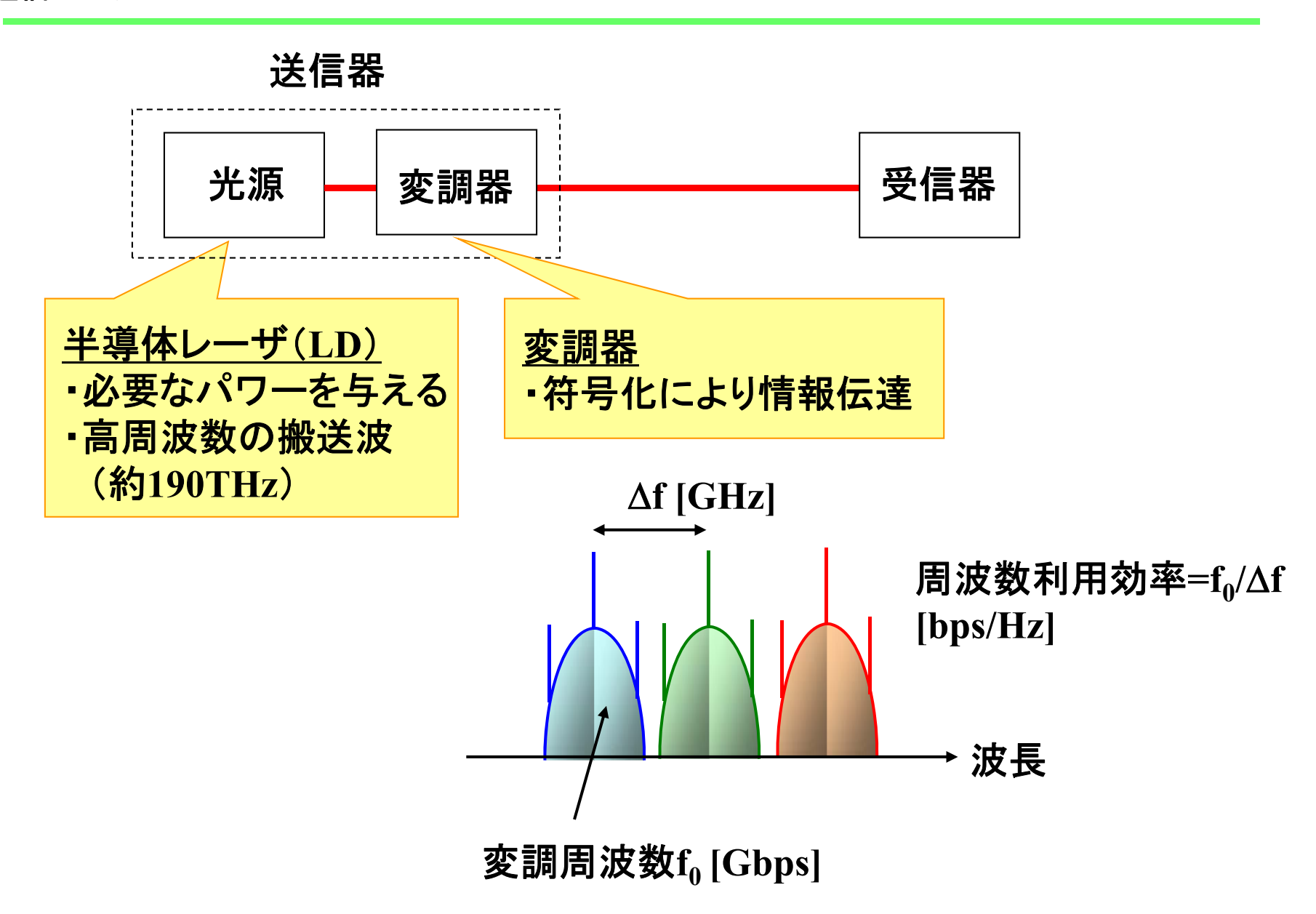
第4章

光変復調技術

講義内容

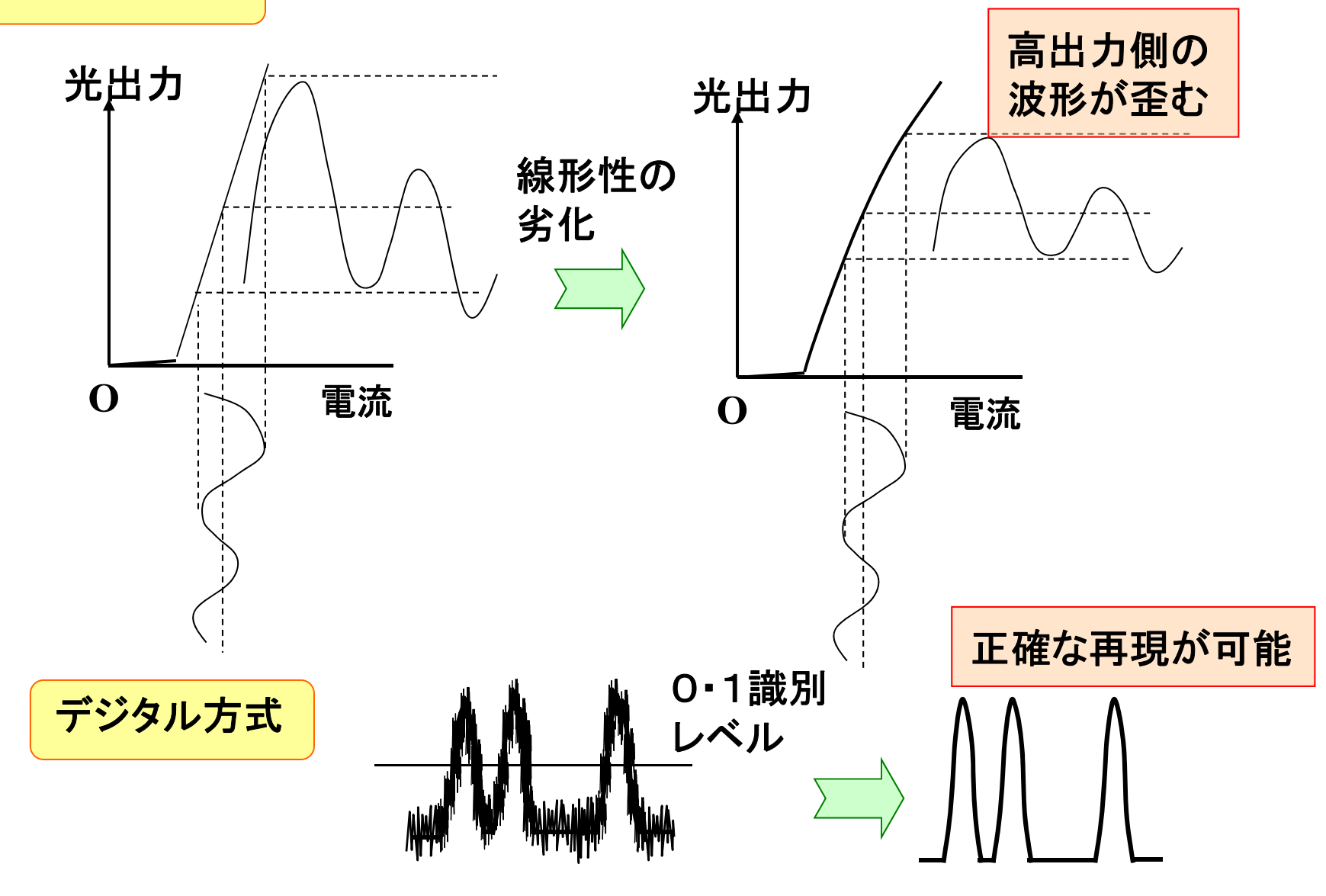
- 1. 光送信器
 - 1-1 送信器の基本構成
 - 1-2. 送信器の動作原理
- 半導体レーザ
- 変調器(電界吸収型・電界効果型)
 - 1-3. 送信器の実例
- 2. 光受信器
 - 2-1 受信器の基本構成
 - 2-2 受信器の実例

信号伝送における送信の役割

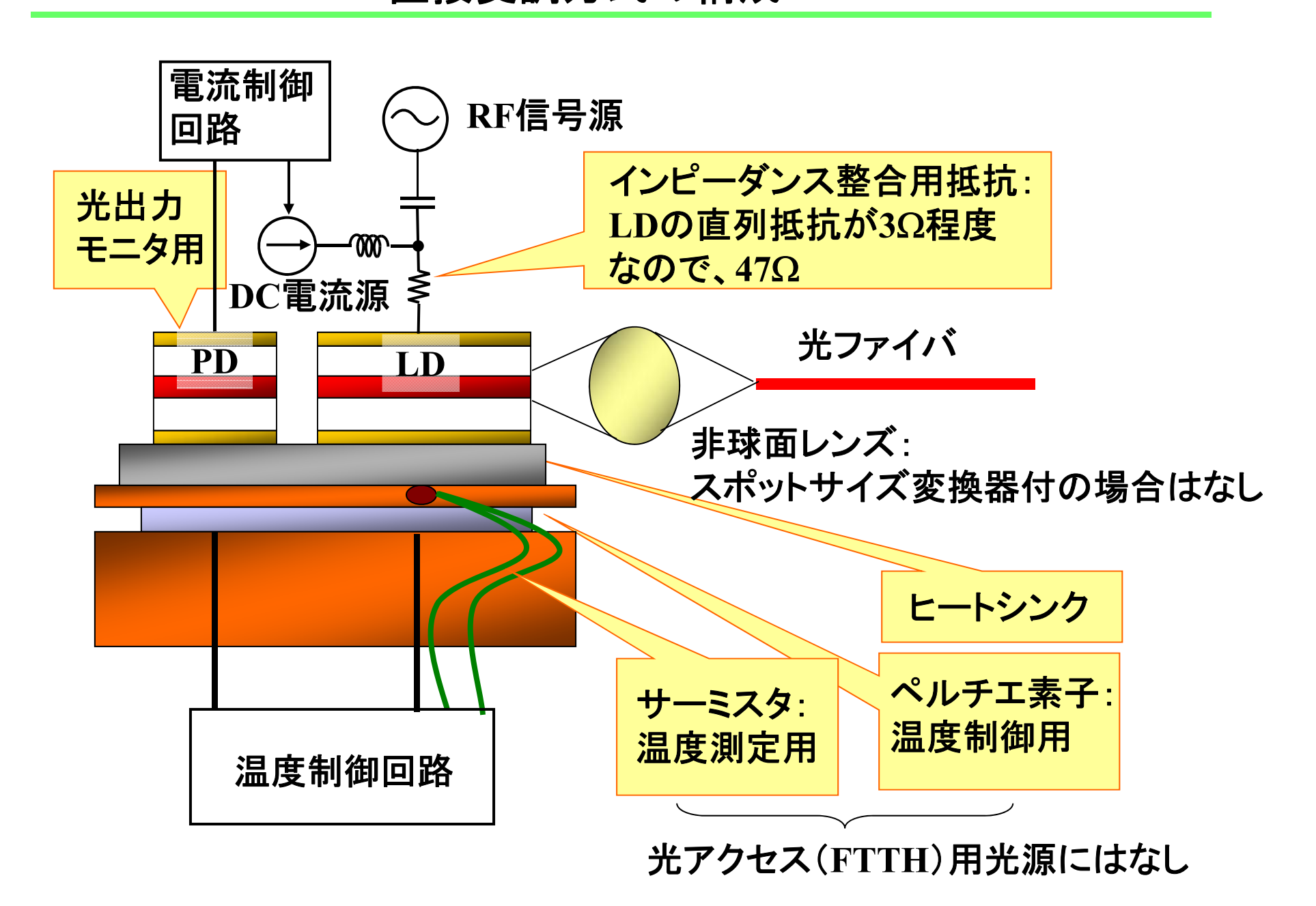


デジタル方式の利点

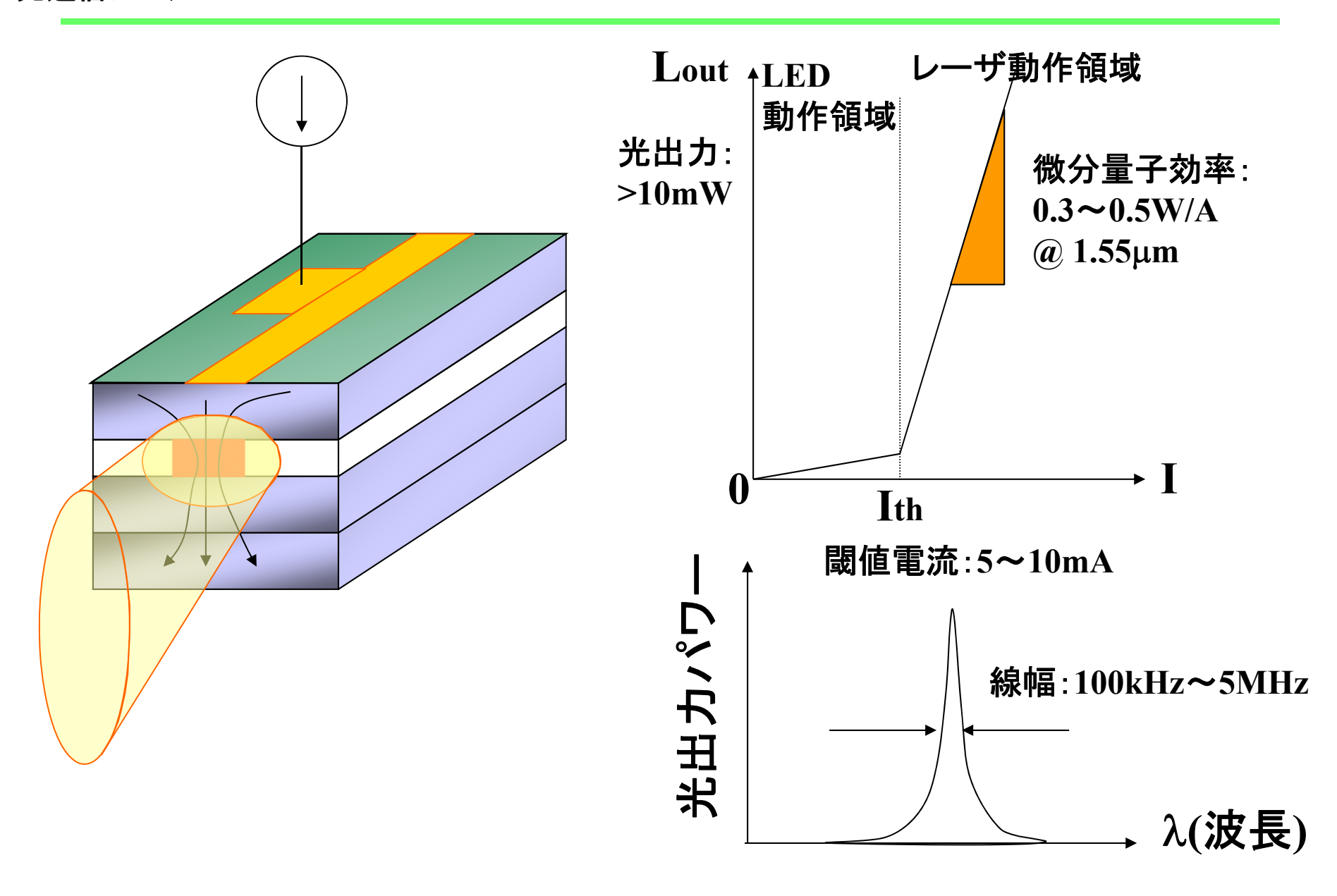
アナログ方式



光強度変調方式(1) 直接変調方式の構成



半導体レーザの基本特性



半導体レーザの製品写真

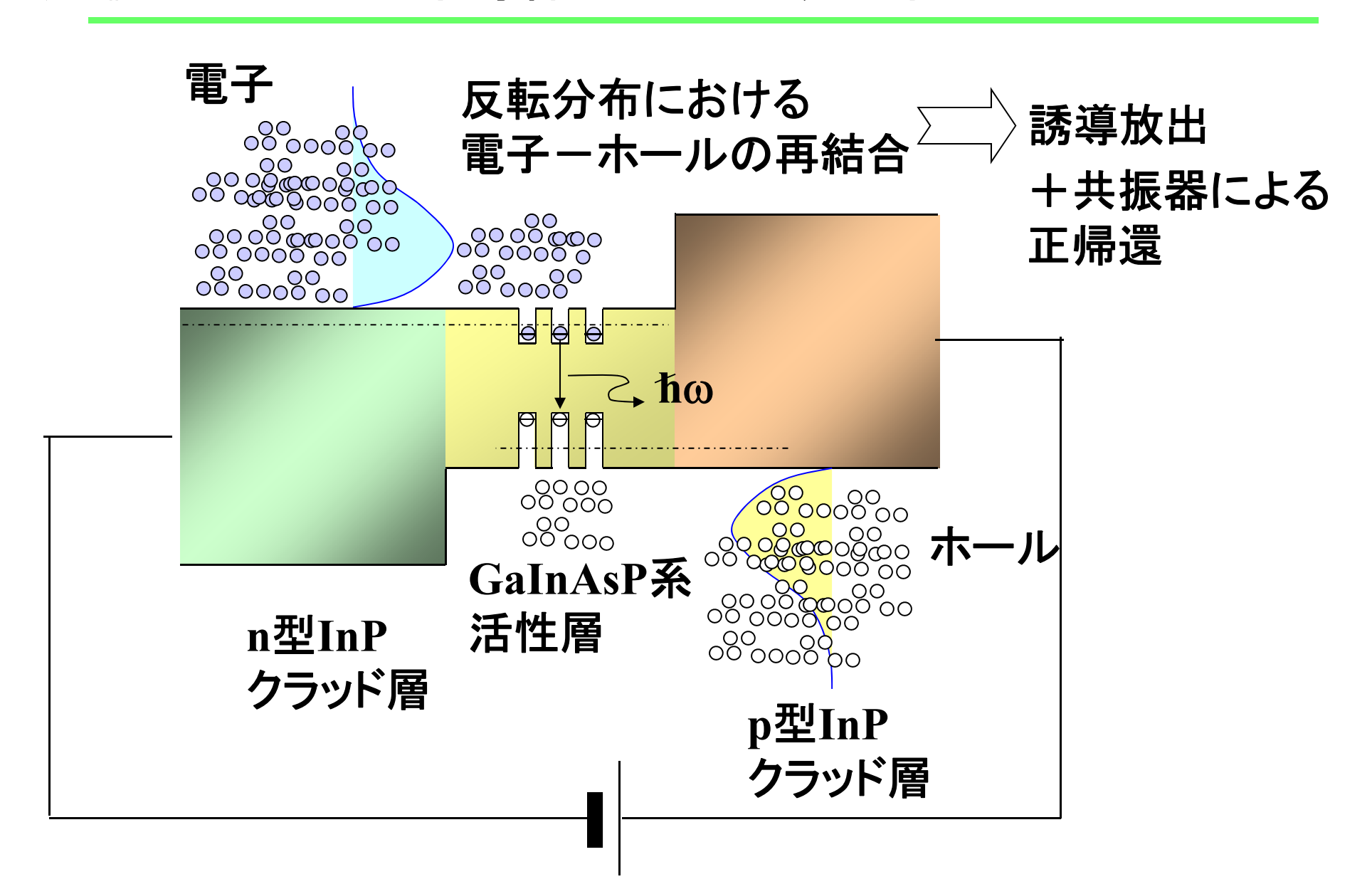
ファイバ・ピッグテール

DC電流・温度コントローラ



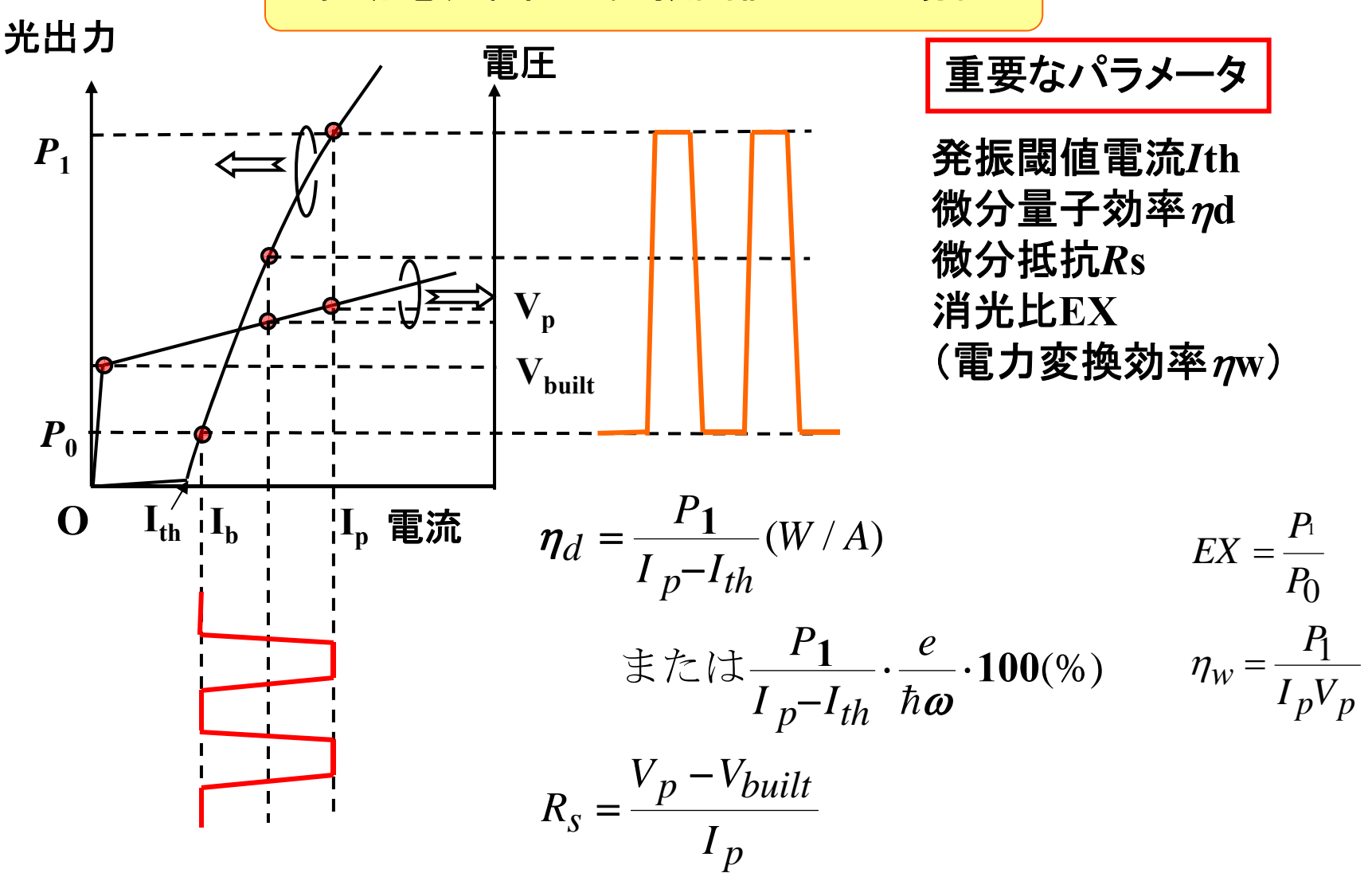
高周波信号

半導体レーザの動作原理

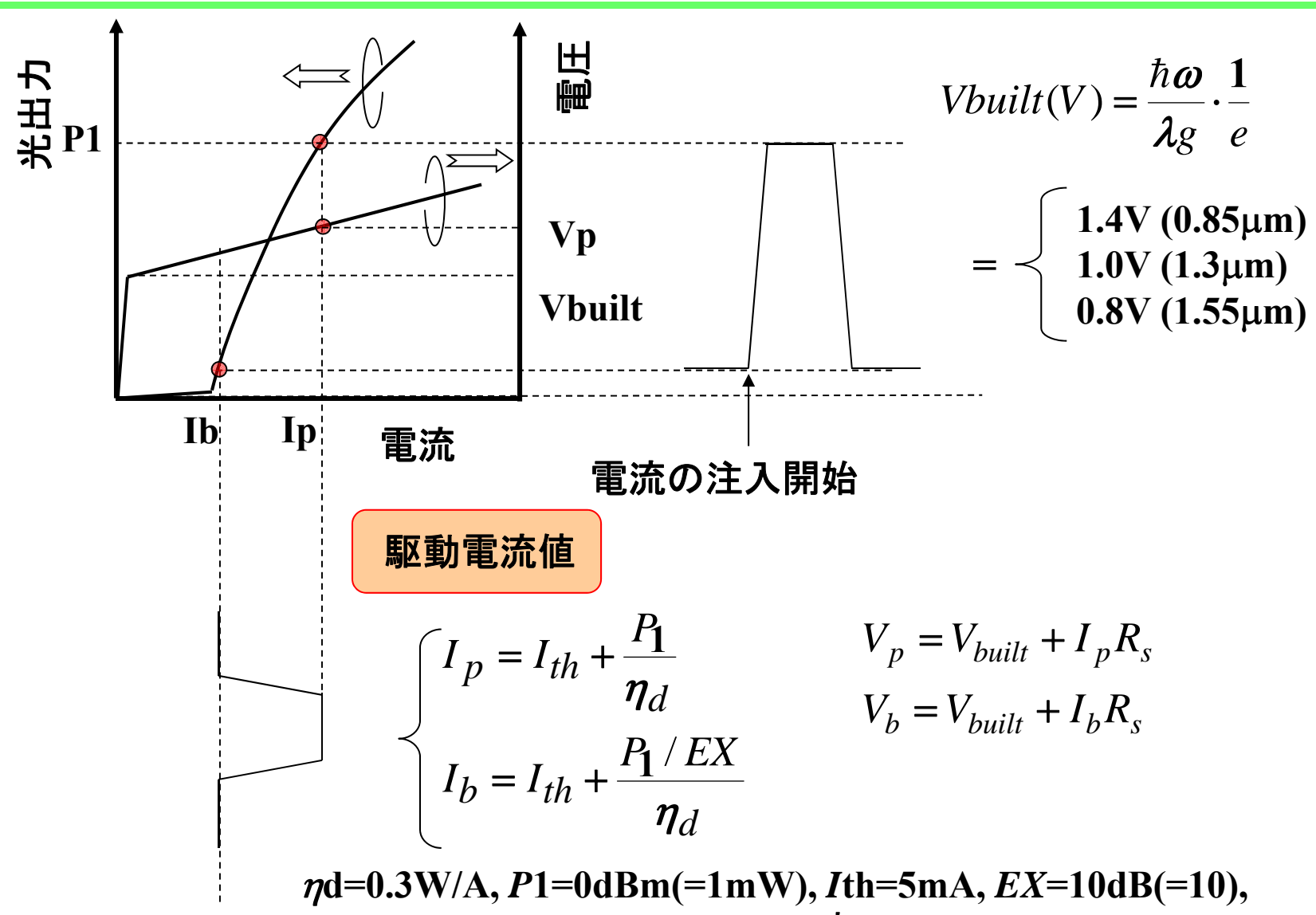


直接変調方式の電流・光出力の設定(1-1)

駆動電流範囲が発振閾値以上の場合

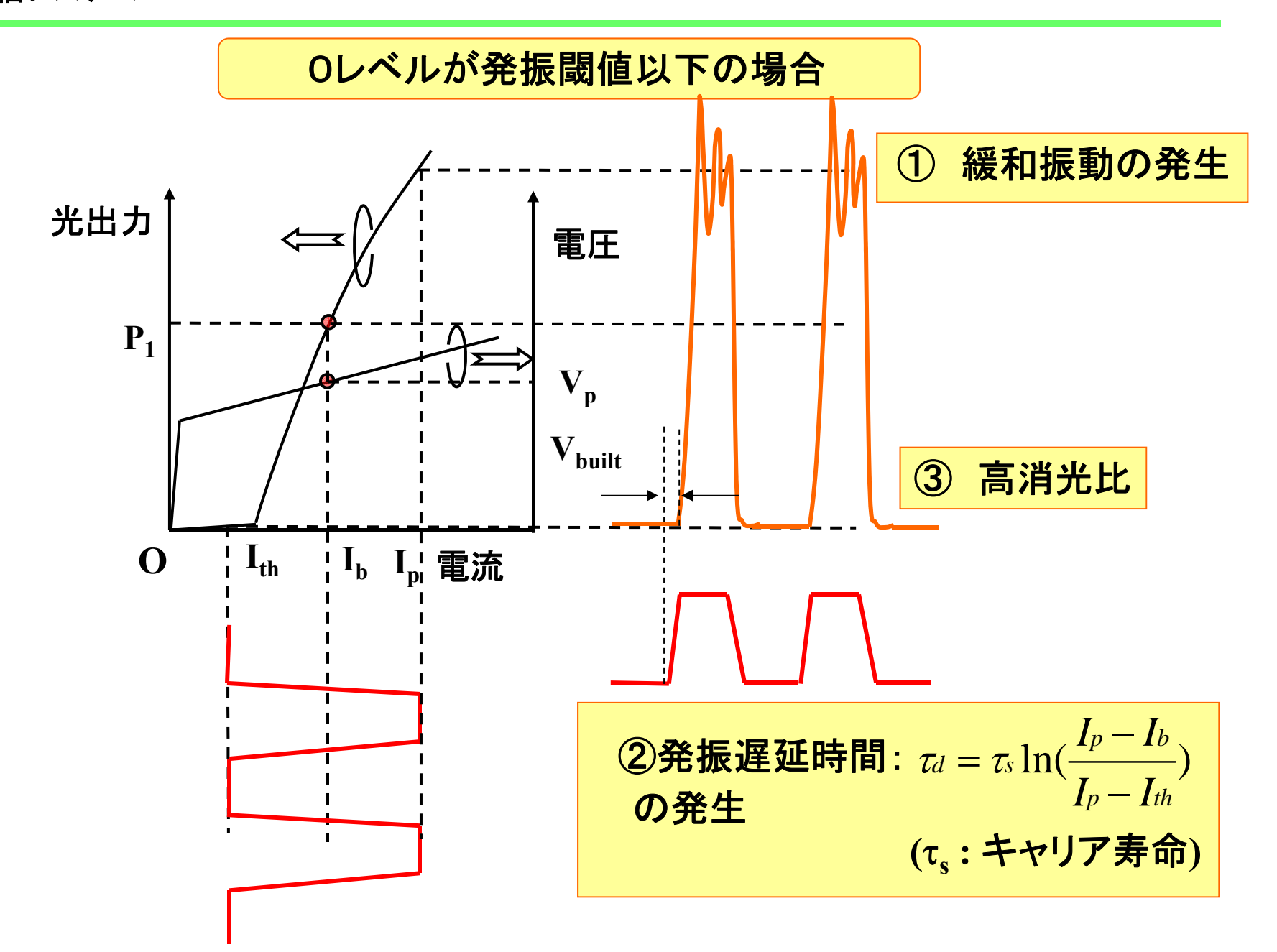


直接変調方式の電流・光出力の設定(1-2)

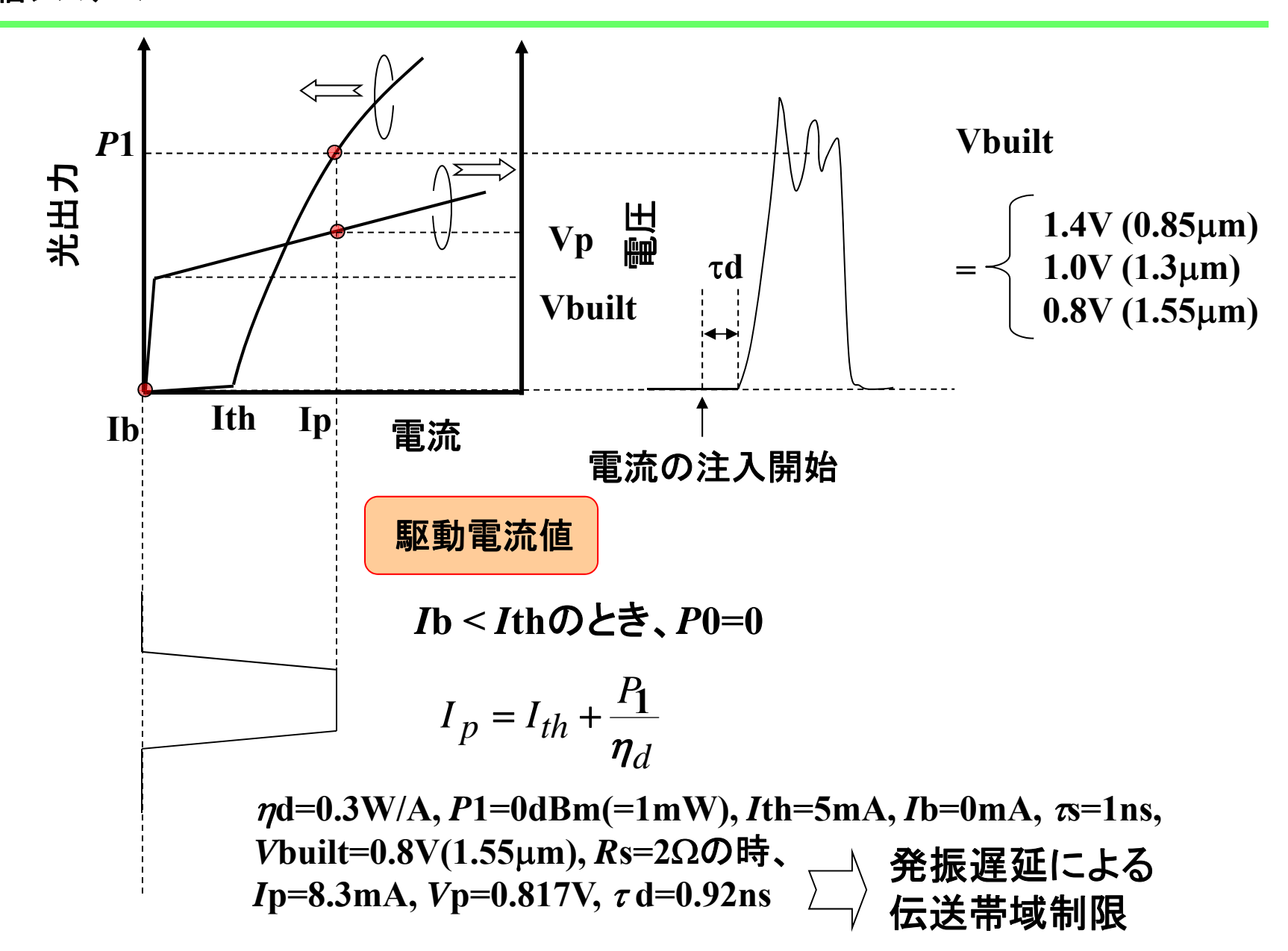


 η d=0.3W/A, P1=0dBm(=1mW), Ith=5mA, EX=10dB(=10), Vbuilt=0.8V(1.55 μ m), Rs=2 Ω の時、Ip=8.3mA, Ib=5.3mA, Vp=0.817V, Vb=0.811V, η w=24.5%

直接変調方式の電流・光出力の設定(2-1)



直接変調方式の電流・光出力の設定(2-2)



発振遅延時間から導出した発振閾値電流・ キャリア寿命への要求

発振遅延時間

 $au_{
m d}$ 低減のためには $au_{
m s}$ の低減、 $I_{
m th}/I_{
m p}$ の低減、 $I_{
m b}$ の上昇が必要

 $(I_b = 0 \text{mA})$ $(\tau s : キャリア寿命)$

例

● B=1Gbps伝送に対して100ps以下の発振遅延時間(Bの10%)を 得るためには、

Ith < 1.5mA @ τ s=0.5ns

● B=2.5Gbps伝送に対して40ps以下の発振遅延時間(Bの10%)を 得るためには、

Ith < 0.64mA @ $\tau s = 0.5$ ns

直接変調方式の制限

① 半導体レーザの本質的な変調帯域制限:緩和振動周波数 f_r

$$f_r = \frac{1}{2\pi} \sqrt{\frac{v_g}{eL} \frac{\Gamma_{MQW}}{wN_w L_w} \eta_i \left(\frac{dg}{dn}\right) (1 - \varepsilon S)(I - I_{th})}$$

10~20GHzが一般的

② 等価回路上の電気的(CR)帯域制限



③ 時間的な波長変動(チャーピング)の影響

 \rightarrow α パラメータ: $\alpha = 3 \sim 7$ (伝送距離制限)

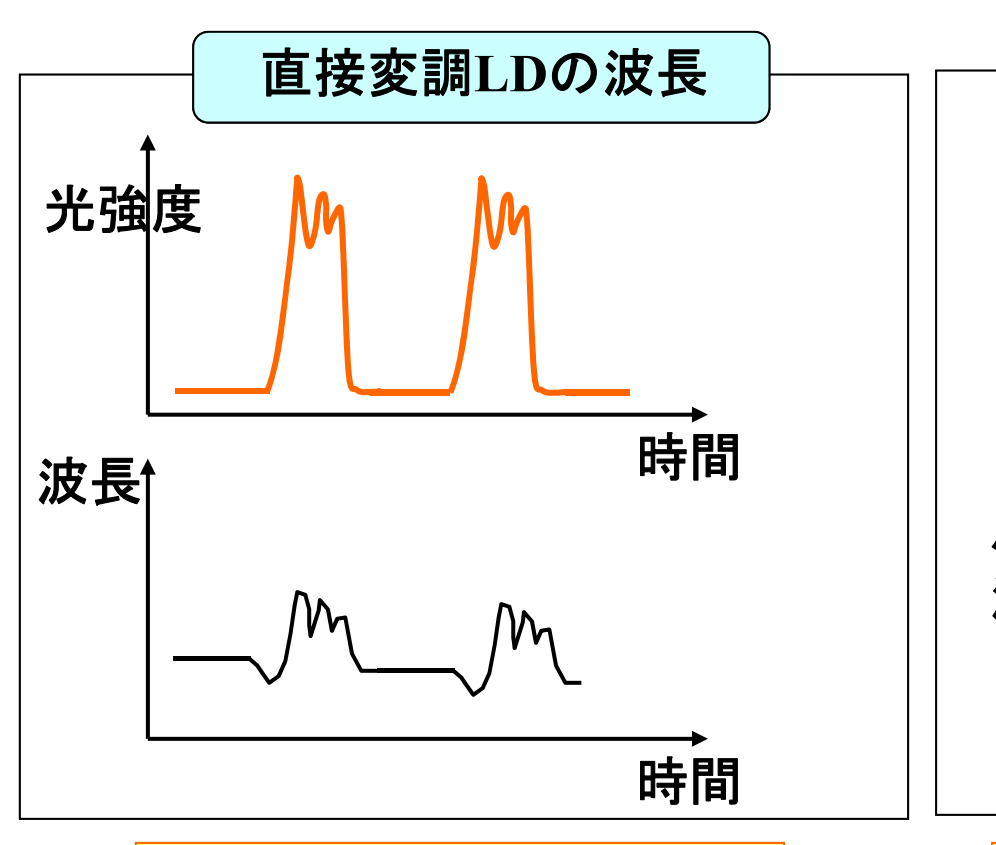
L: 共振器長 Γw: 光閉じ込め係数 w: 活性層幅 dg/dn: 微分利得係数

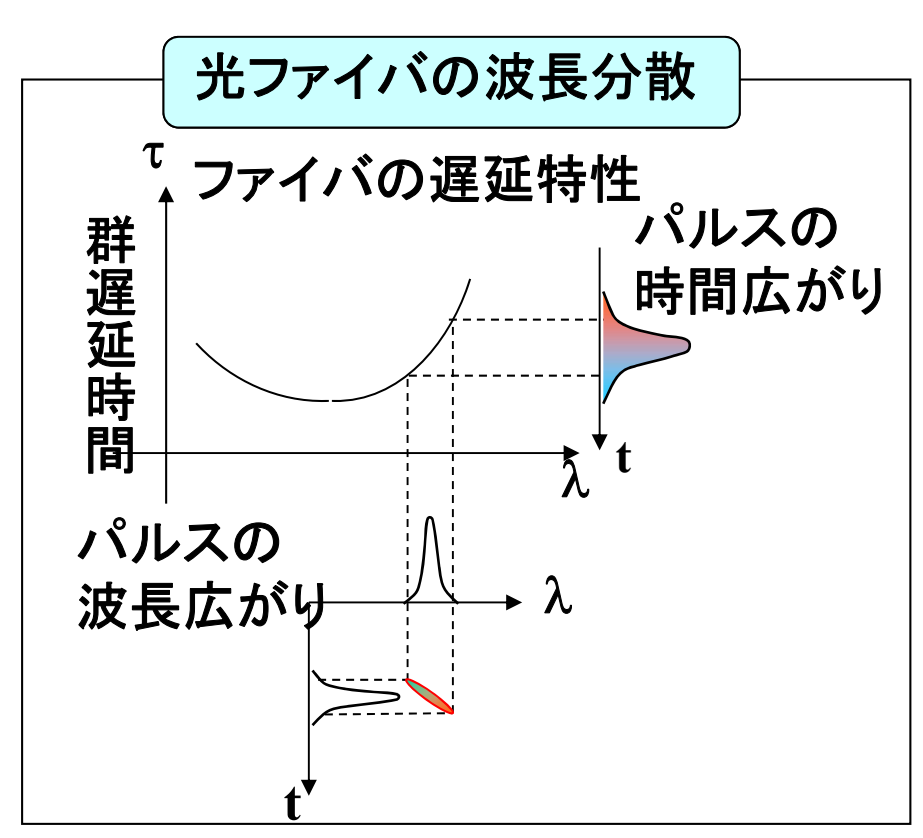
Nw: QW数 ε: 利得飽和係数 Lw: QW厚 I: バイアス電流 ηi: 内部量子効率 Ith: 閾値電流

他の変調方式の必要性 (外部変調)

M. Suzuki, H. Hatakeyama, K. Fukatsu, T. Anan, K. Yashiki and M. Tsuji, Electron. Lett., vol.42, No.17, pp.975-976 (2006).

直接変調方式の技術的課題(送信器のチャーピング)





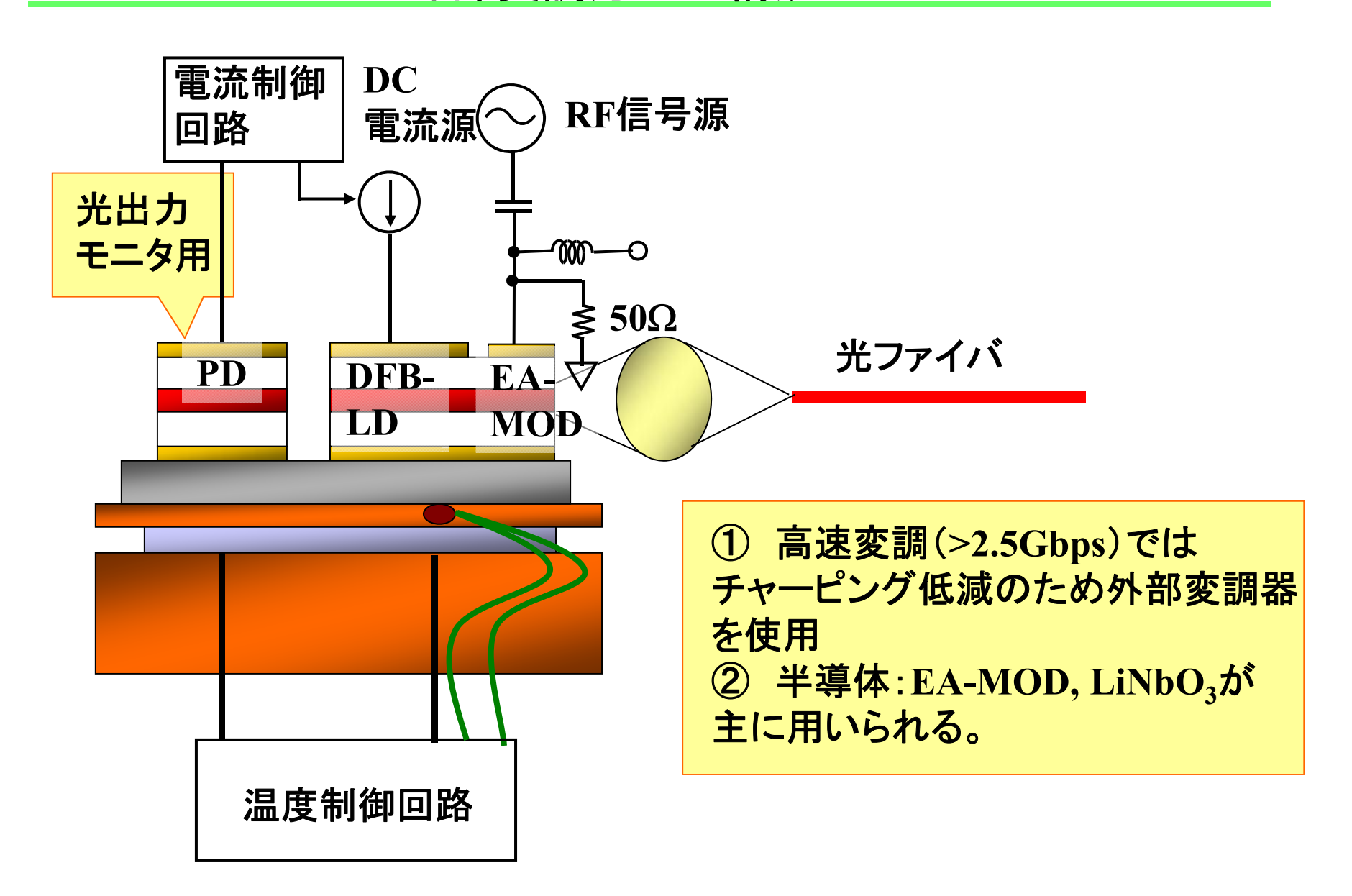
誘導放出による キャリア密度減少

→ 時間とともに長波長 シフト: レッドシフト



零分散波長よりも長波長側 (異常分散領域)ではパルス 幅が広がる

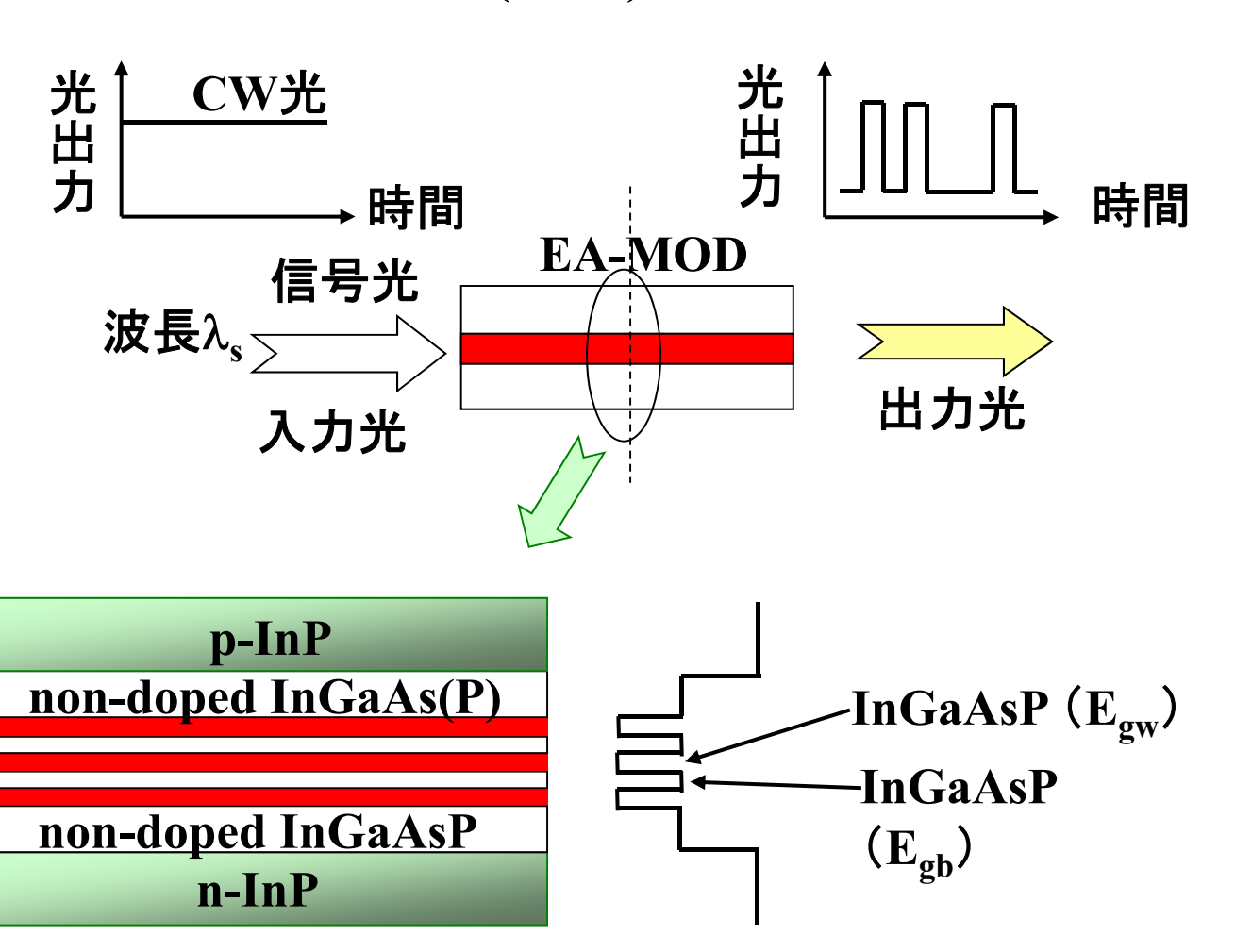
光強度変調方式(2) 外部変調方式の構成



光変調器(電界吸収型変調器)

光変調器の動作原理(1) (電界吸収型)

EA Modulator (EAM): 電界吸収型変調器



2011年度 光通信システム

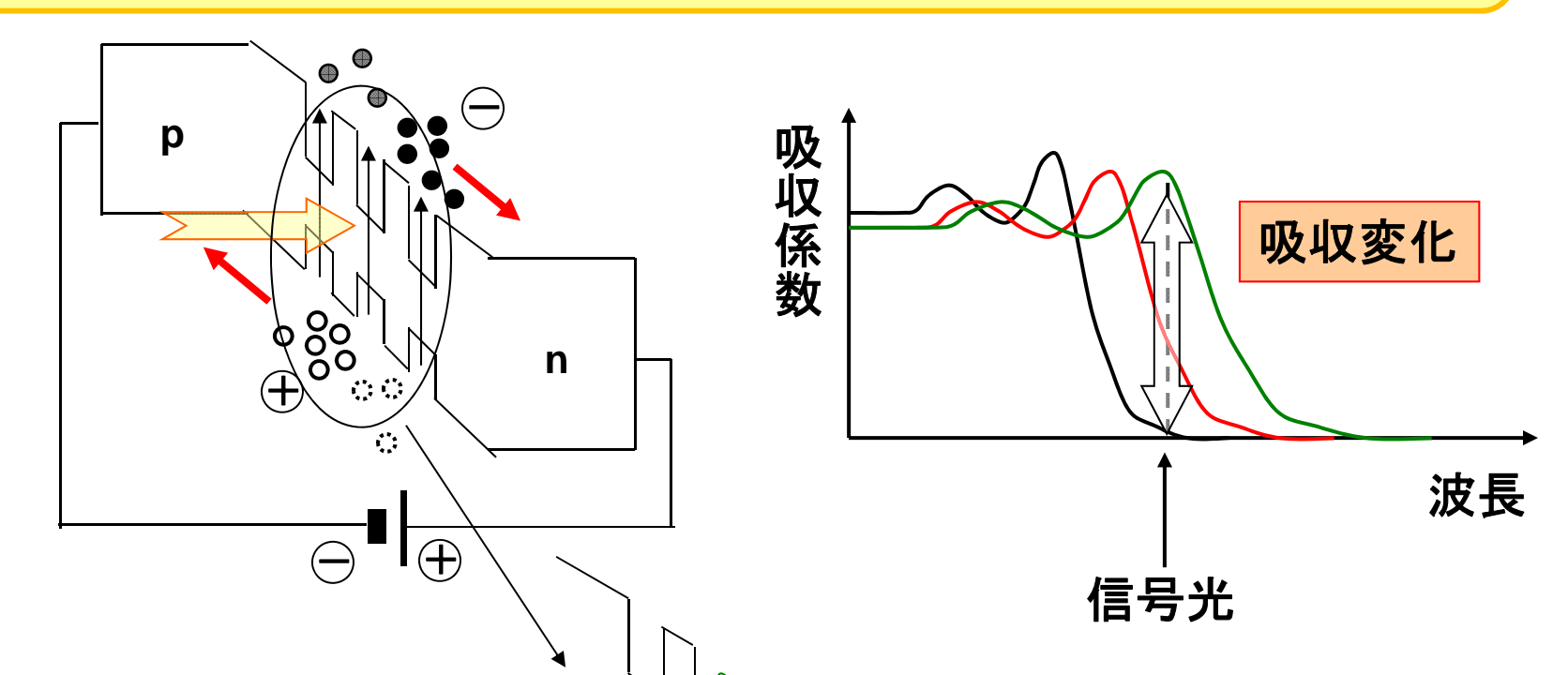
量子閉じ込めシュタルク効果

(Quantum Confined Stark Effect, QCSE)

pin構造に逆バイアス電圧を印加



- ・吸収端波長が長波長にシフト
- ・吸収ピーク値が減少



エネルギーシフト量:

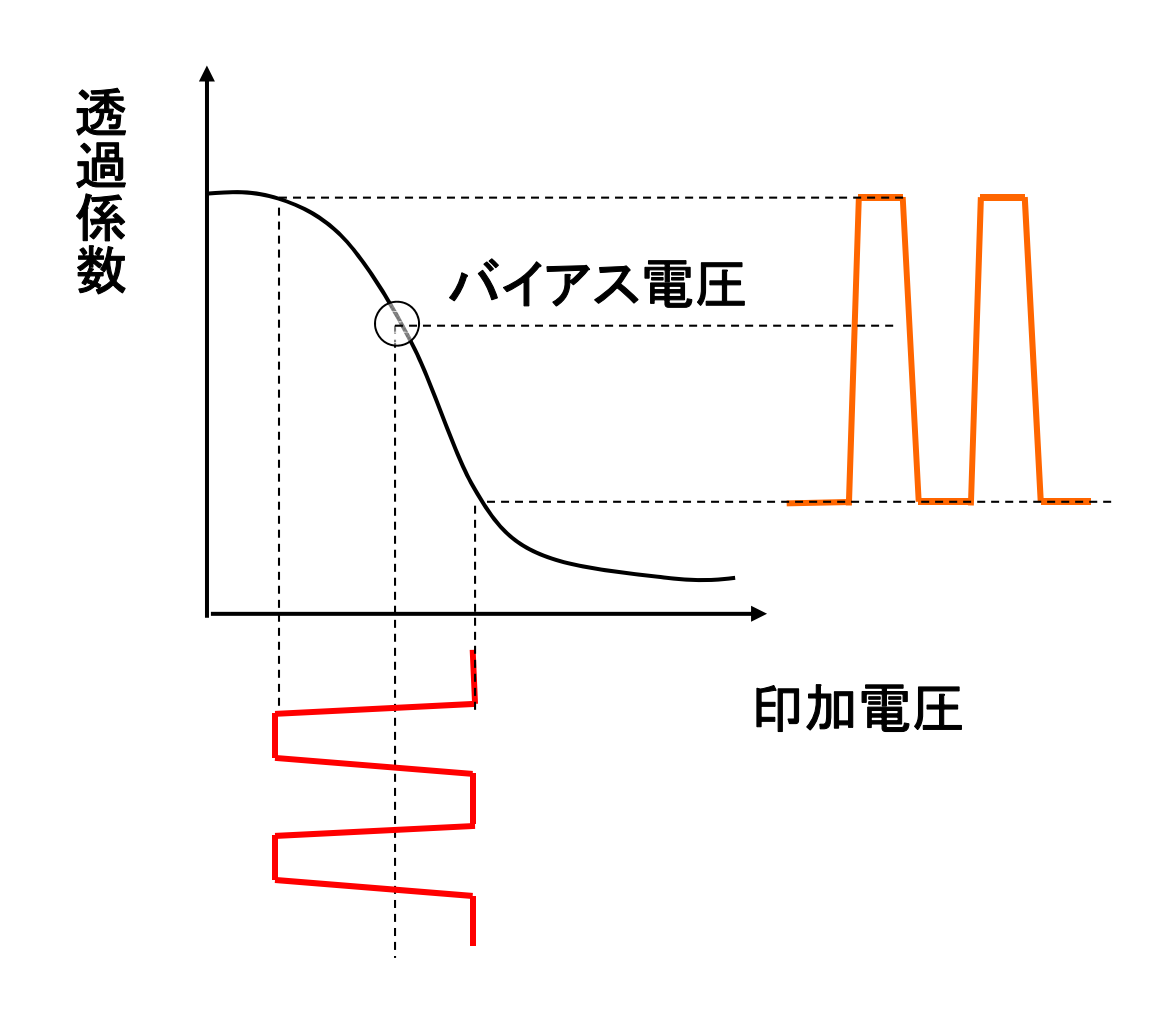
$$\Delta E = \frac{\pi^2 - 15}{24\pi^4} (m_e + m_h) e^2 F^2 \frac{L_z^4}{\hbar}$$

m_e: 電子の有効質量, m_h: ホールの有効質量

F: 外部電界, Lz: QW厚

- 実効的なエネルギー ギャップ減少
- ・電子とホールの空間的 重ね合わせ積分が減少

EAMによる符号化

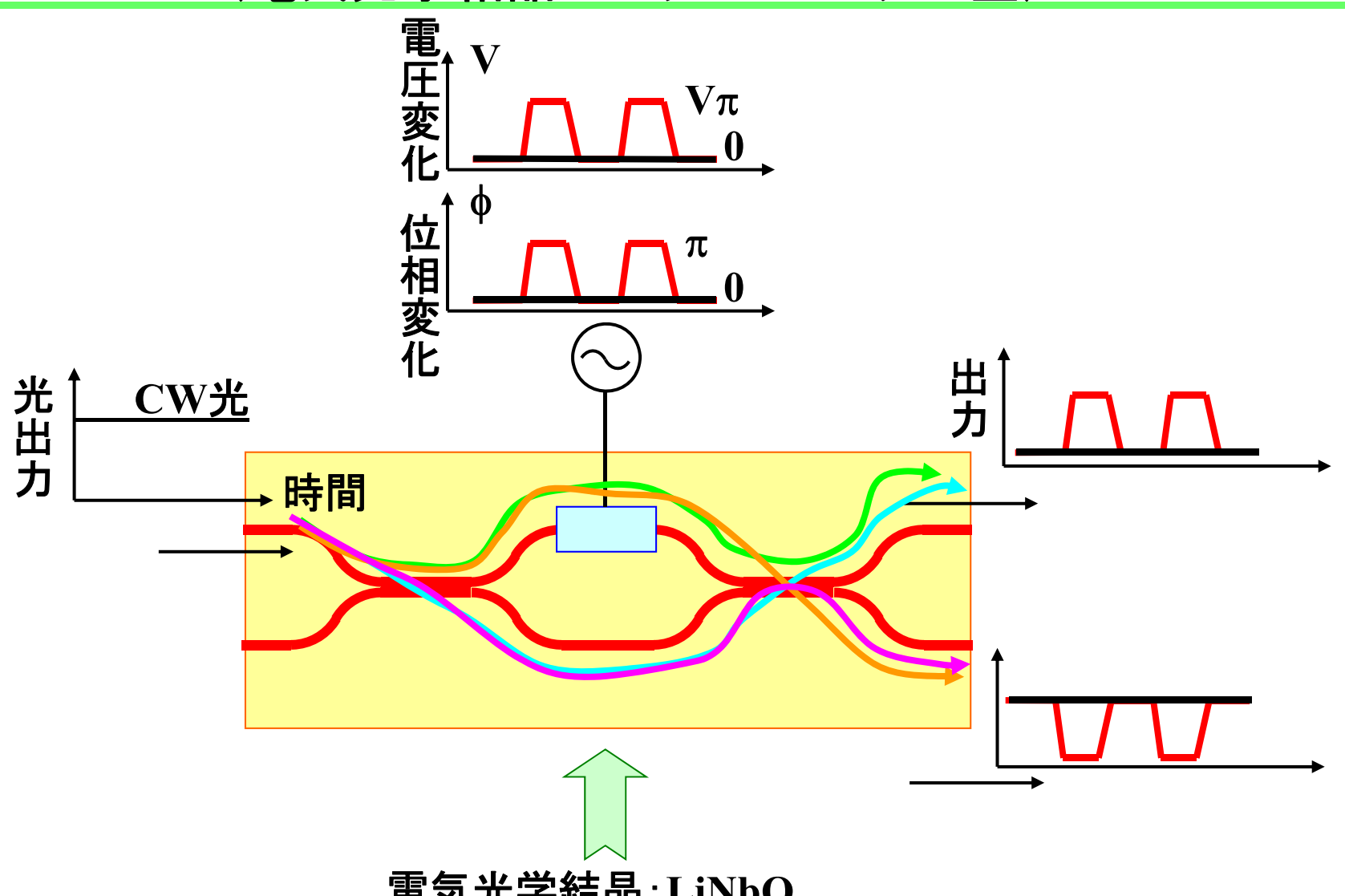


マッハツェンダー型光変調器

2011年度 光通信システム

光変調器の動作原理(2)

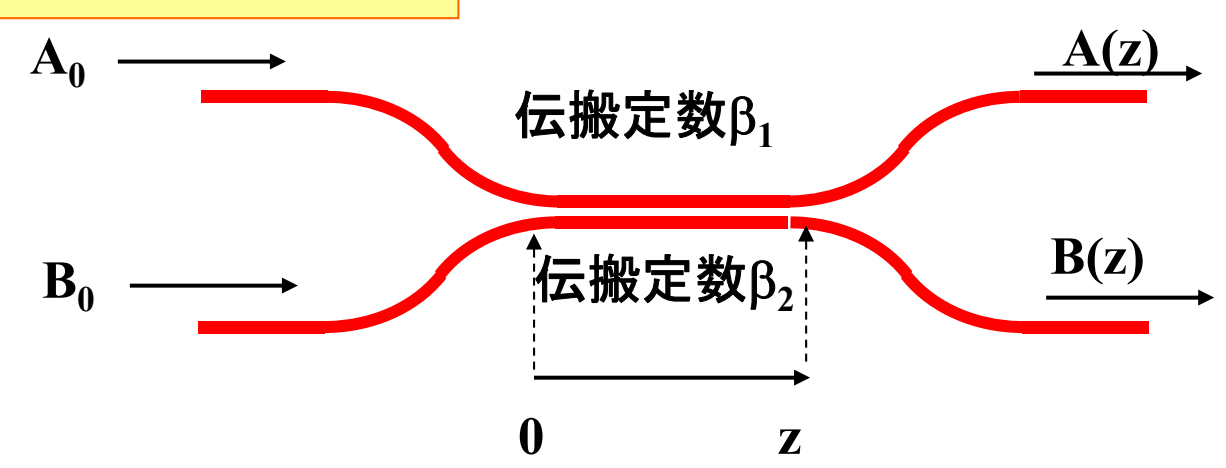
(電気光学結晶のマッハツェンダー型)



電気光学結晶:LiNbO₃

モード結合導波路(1)

結合導波路の基本形



モード結合方程式

$$\frac{dA}{dz} = -j\kappa_{12}B\exp\{-j(\beta_2 - \beta_1)z\}$$
 (5.1)

$$\frac{dB}{dz} = -j\kappa_{21}A\exp\{j(\beta_2 - \beta_1)z\}$$
 (5.2)

式(5.1)を微分して式(5.2)を代入

$$\frac{d^2A}{dz^2} + j2\Delta \frac{dA}{dz} + \kappa^2 A = 0 \quad (5.3)$$

ただし

$$\kappa^2 = \kappa_{12} \times \kappa_{21}^*$$
$$2\Delta = \beta_2 - \beta_1$$

結合導波路の結合係数

式(5.1)のK₁₂は対称構造において以下の式で表される。

$$\kappa_{12} = \frac{\kappa_0^2}{\beta_0} \frac{1}{\gamma a} \frac{\exp(-\gamma d)}{1 + (\frac{\kappa_0}{\gamma})^2}$$

tetel
$$\kappa_0 = \sqrt{k_0^2 n_1^2 - \beta_0^2}$$

$$\gamma = \sqrt{\beta_0^2 - k_0^2 n_2^2}$$

$$k_0 = \frac{2\pi}{\lambda_0}$$

n1:コアの屈折率

n2:クラッドの屈折率

a:コア幅の1/2

d: 2つのコアの間隔

λ0: 真空中の波長

モード結合導波路(2)

qを未知数とし、

$$A(z) = [a_1 e^{jqz} + a_2 e^{-jqz}] \exp(-j\Delta z)$$
 (5.4)

$$B(z) = [b_1 e^{jqz} + b_2 e^{-jqz}] \exp(j\Delta z)$$
 (5.5)

式(5.4), (5.5)を式(5.1)、(5.2)に代入し、

$$a_1 + a_2 = A(0)$$
 (5.6)

$$b_1 + b_2 = B(0)$$
 (5.7)

を満足する定数 a_1, a_2, b_1, b_2 を求めると、以下の一般解を得る。

$$A(z) = \{ [\cos(qz) + j\frac{\Delta}{q}\sin(qz)]A(0) - j\frac{\kappa}{q}\sin(qz)B(0) \} \exp(-j\Delta z)$$
(5.8)

$$B(z) = \{-j\frac{\kappa}{q}\sin(qz)A(0) + [\cos(qz) - j\frac{\Delta}{q}\sin(qz)]B(0)\}\exp(j\Delta z)$$
(5.9)

tetël.
$$q = \sqrt{\kappa^2 + \Delta^2}$$

モード結合導波路(3)

qz $(\times \pi)$

片方の導波路のみに光が入射された場合、 $A(0)=A_0$, B(0)=0なので

$$P_{a}(z) = \frac{|A(z)|^{2}}{|A_{0}|^{2}} = 1 - F \sin^{2}(qz)$$
 (5.10)
$$P_{b}(z) = \frac{|B(z)|^{2}}{|A_{0}|^{2}} = F \sin^{2}(qz)$$
 (5.11) ただし $F = \left(\frac{\kappa}{q}\right)^{2}$

$$F = 1 \text{ ($\Delta = 0$)}$$

$$L_{c} = \frac{\pi}{2q} \text{ のとき},$$

$$P_{a}(L_{z}) = 0, P_{b}(L_{c}) = A_{0}$$

$$L_{c} : 結合長$$

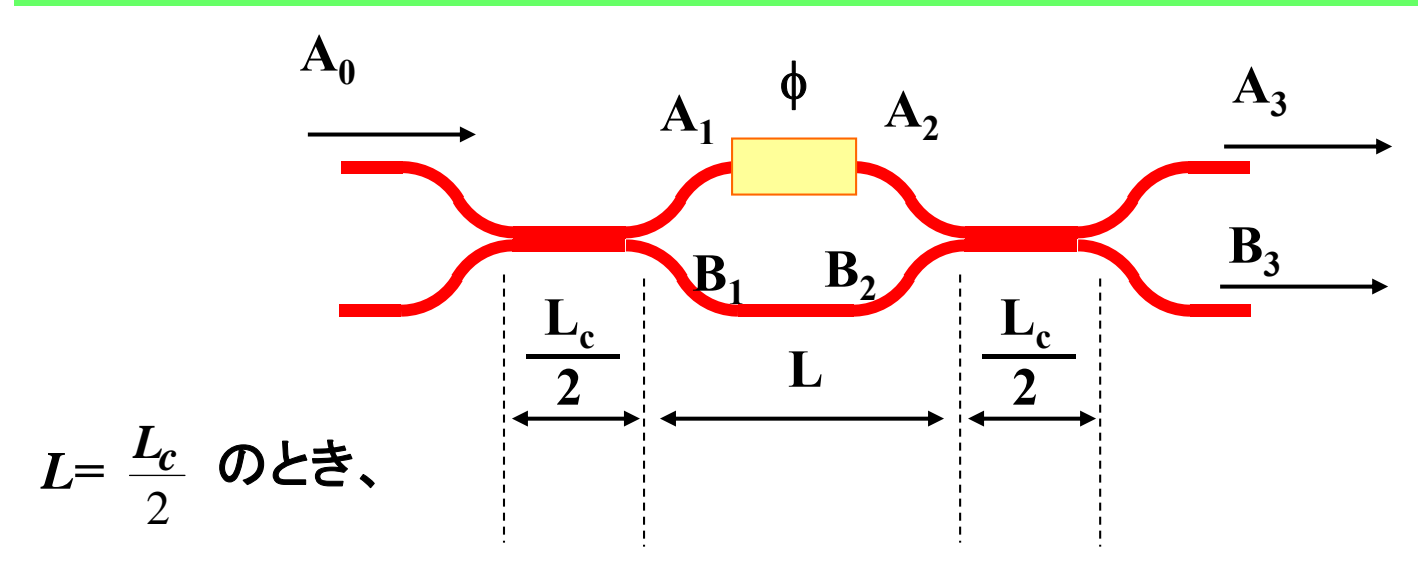
2

モード結合導波路(4)

2本の導波路が同一構造の場合($\beta_1 = \beta_2$ または $\Delta = 0$)、式(5.8), (5.9)は以下のようになる。

$$\begin{cases} A(z) = A(\mathbf{0})\cos(\kappa z) - jB(\mathbf{0})\sin(\kappa z) & (5.12) \\ B(z) = -jA(\mathbf{0})\sin(\kappa z) + B(\mathbf{0})\cos(\kappa z) & (5.13) \end{cases}$$

マッハツェンダー型導波路の解析(1)



上側と下側の導波路が同じ構造(等位相)であるとすると、 $\Delta=0$

$$\begin{cases} A1 = A0\cos(\frac{\pi}{4}) = \frac{A0}{\sqrt{2}} = \frac{A0}{\sqrt{2}}e^{j\cdot0} & (5.14) \\ B1 = -jA0\sin(\frac{\pi}{4}) = -j\frac{A0}{\sqrt{2}} = \frac{A0}{\sqrt{2}}e^{-j\frac{\pi}{2}} & (5.15) \end{cases}$$
 位相が $\frac{\pi}{2}$ ずれている
$$\begin{cases} A_2 = \frac{A_0}{\sqrt{2}}\exp(-j\beta L) & (5.16) \\ B_2 = -j\frac{A_0}{\sqrt{2}}\exp(-j\beta L + j\phi) & (5.17) \end{cases}$$

マッハツェンダー型導波路の解析(2)

式(5.16)、(5.17)を式(5.12)、(5.13)のA(0)、B(0)に代入

$$\begin{cases} A_3 = -jA_0 \sin(\frac{\phi}{2}) \exp(-j\beta L + j\frac{\phi}{2}) & (5.18) \\ B_3 = -jA_0 \cos(\frac{\phi}{2}) \exp(-j\beta L + j\frac{\phi}{2}) & (5.19) \end{cases}$$

$$\begin{cases} |A_3|^2 = |A_0|^2 \sin^2(\frac{\phi}{2}) & (5.20) \\ |B_3|^2 = |A_0|^2 \cos^2(\frac{\phi}{2}) & (5.21) \end{cases}$$

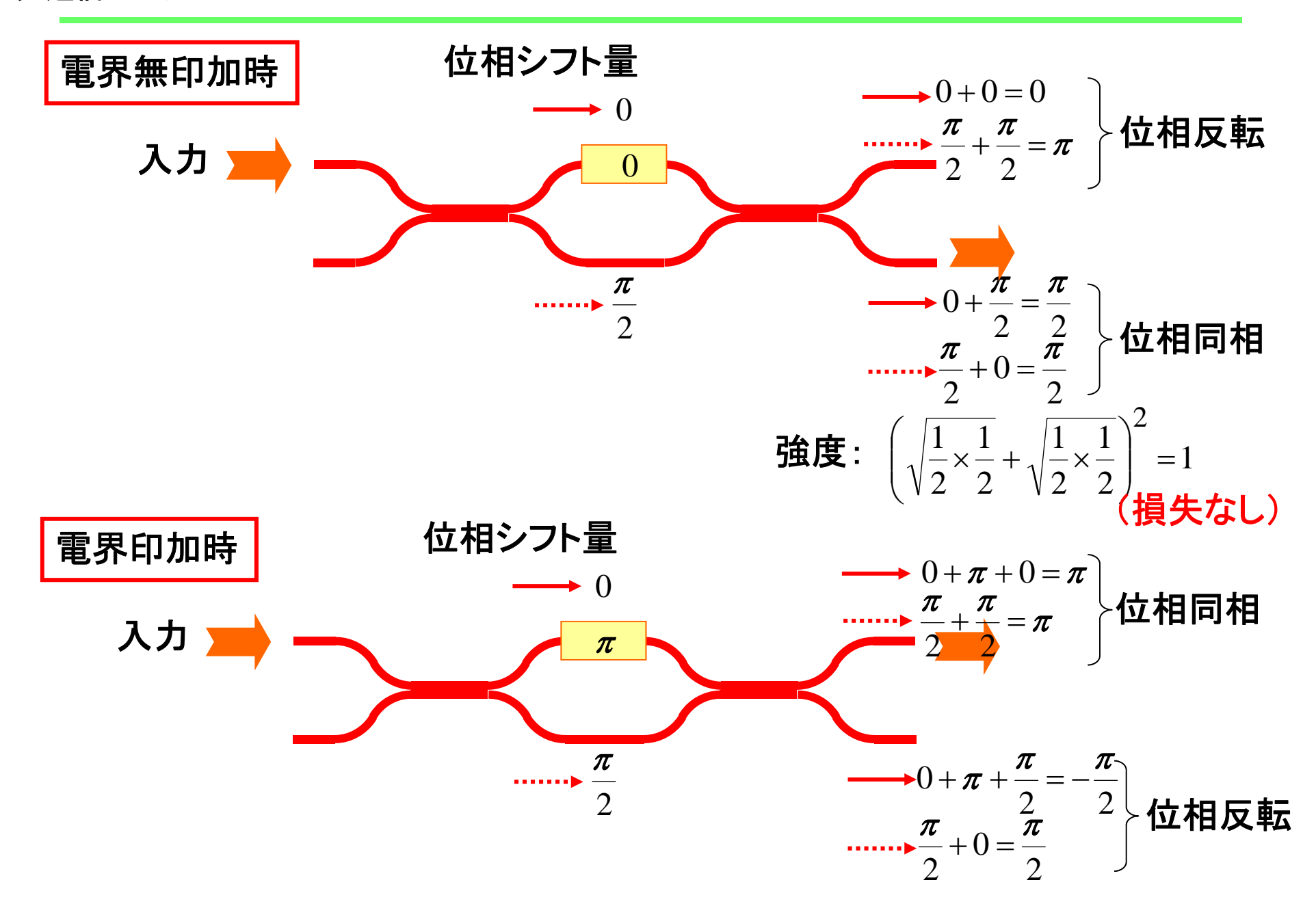
$$\phi$$
=0のとき、 $|A_3|^2 = 0$, $|B_3|^2 = 1$
 ϕ = π のとき、 $|A_3|^2 = 1$, $|B_3|^2 = 0$

$$\phi = \frac{\pi}{2} + \delta \phi$$
 となるようにバイアスを加えると、
$$|A_3|^2 \cong \frac{1}{2} |A_0|^2 (1 + \delta \phi) \qquad (5.22) \qquad \qquad$$
 強度変化が得られる

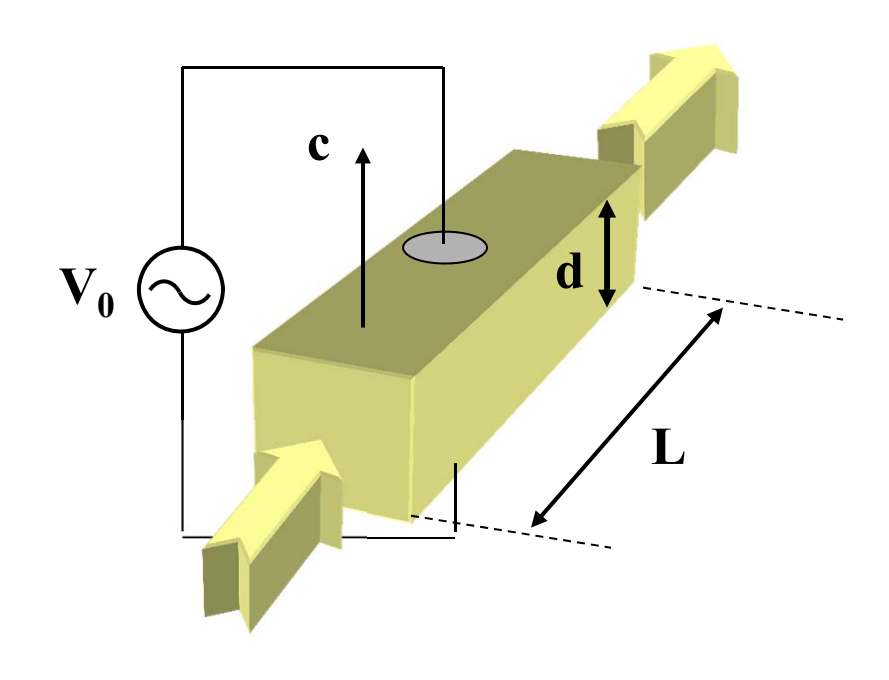
$$A_3|^2 \cong \frac{1}{2} |A_0|^2 (1 + \delta \phi)$$
 (5.22)



マッハツェンダー型干渉計の強度変調器の動作を再度



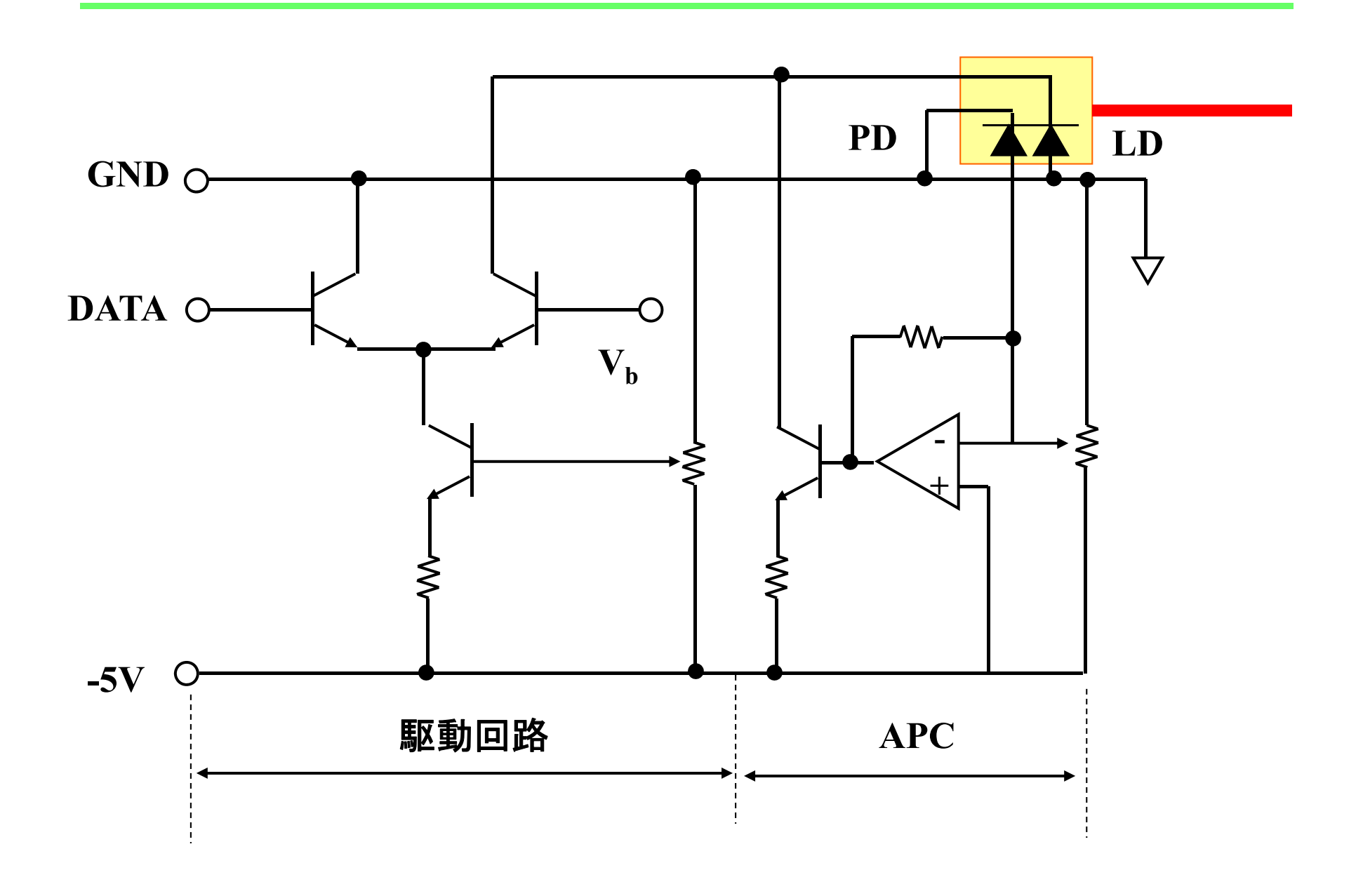
2011年度 4011年度 光通信システム マッハツェンダー型導波路用デバイス(電気光学結晶)



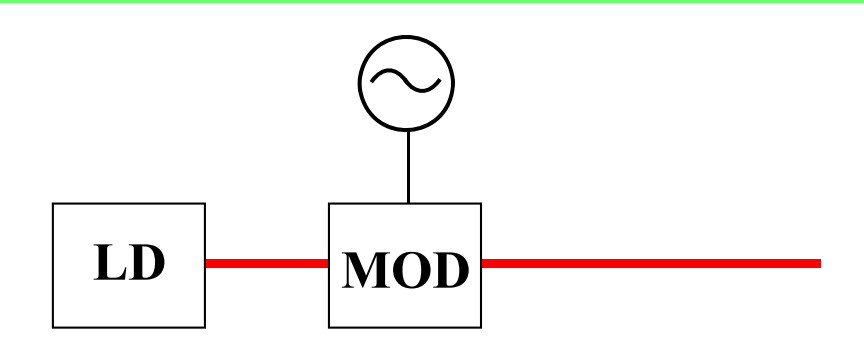
$$\delta\phi = \frac{\pi n e^3 r_{33} L}{L^2} V_0 \qquad \qquad \qquad$$

 $\delta \phi = \frac{\pi n e^3 r_{33} L}{d\lambda} V_0$ ポッケルス効果: 屈折率変化が印加電圧 の1乗に比例

実際の送信器構成の一例



外部変調器におけるチャーピング



- ① 電気光学結晶(LiNbO₃)の場合 印加電界による屈折率変動がチャーピングの原因
- → 影響小
- ② 半導体(EA変調器)の場合 光励起キャリアによる屈折率変動がチャーピングの原因
- → LiNbO₃より影響大 バイアス電圧を選ぶとブルーチャープ領域があり、パルス圧縮の効果 が期待できる。

光受信器

光受信器の役割

光送信器 光ファイバ伝送路 ・光信号を電気信号に変換 ・元の信号を再現(Oか1かの判別)

フォトディテクタの動作原理(1)

pin-PDの構造

発生電流: $I = e \eta_i \frac{P_{in}}{\hbar \omega}$

→ 受信光の吸収により発生する電子数(効率は 内部量子効率として考慮)に電子素量を掛けて 電流を導出

